

<https://dorl.net/dor/20.1001.1.23223871.1402.14.56.6.6>

Research Article

A Three-Level Framework for Determining the Optimal Strategy of Microgrids to Participate in the Day-Ahead Competitive Market by Considering Electric Vehicles and Demand Response Programs

Abolfazl Bayatian¹, M.Sc., Amir Ahmarinejad², Assistant Professor

¹ Department of Electrical Engineering- Yadegar-e-Imam Khomeini (RAH) Shahre Rey Branch, Islamic Azad University, Tehran, Iran

² Department of Electrical Engineering- Central Tehran Branch, Islamic Azad University, Tehran, Iran
abolfazl.bayatian5@gmail.com, a.ahmarinejad@iauctb.ac.ir

Abstract

In this paper, a three-level scenario-based framework for determining the optimal strategy and planning of microgrids located in a 118-bus distribution system is presented. This paper considers the uncertainties of renewable energy resources, load demand, and the charge / discharge schedule of electric vehicles. In order to increase planning flexibility, the operator will be able to change the flow through the distribution feeder reconfiguration. Also in the proposed model, customers will be able to reduce their costs by participating in a demand response program. In the first level of the proposed model, the bidding strategy of microgrids is determined. In the second level, the market clearing price is determined by the independent system operator and according to the submitted bids. Finally, in the third stage, the problem of final microgrid programming is solved by a participatory game theory method. The proposed model is solved by the CPLEX solver in GAMS software and the results show that the dynamic topology improves the planning flexibility and thus reduces the total operating cost by about 10%. The results also show that the coordination of electric vehicles with scheduling, the presence of storage systems and the implementation of the demand response program leads to a significant reduction in the level of market-clearing price and thus reduce operating costs.

Keywords: cooperative game theory approach, demand response programs, electric vehicles, microgrids scheduling, optimal bidding strategy, renewable energy resources

Received: 16 May 2022

Revised: 23 June 2022

Accepted: 19 August 2022

Corresponding Author: Dr. Amir Ahmarinejad

Citation: A. Bayatian, A. Ahmarinejad, "A three-level framework for determining the optimal strategy of microgrids to participate in the day-ahead competitive market by considering electric vehicles and demand response programs", Journal of Intelligent Procedures in Electrical Technology, vol. 14, no. 56, pp. 97-118, March 2024 (in Persian).

<https://dorl.net/dor/20.1001.1.23223871.1402.14.56.6.6>

مقاله پژوهشی

یک چارچوب سه مرحله‌ای برای تعیین استراتژی بهینه ریز شبکه‌ها جهت مشارکت در بازار رقابتی روز بعد با در نظر گرفتن خودروهای الکتریکی و برنامه‌های پاسخگویی تقاضا

ابوالفضل بیاتیان، دانش آموخته کارشناسی ارشد، امیر احمدی نژاد، استادیار

۱- دانشکده مهندسی برق و کامپیوتر - واحد یادگار امام خمینی (ره) شهری، دانشگاه آزاد اسلامی، تهران، ایران

۲- دانشکده فنی و مهندسی - واحد تهران مرکزی، دانشگاه آزاد اسلامی، تهران، ایران

abolfazl.bayatian5@gmail.com,a.ahmarinejad@iauctb.ac.ir

چکیده: در این مقاله یک چارچوب سه مرحله‌ای مبتنی بر سناریو برای تعیین استراتژی بهینه و برنامه‌ریزی ریز شبکه‌ها قرار گرفته در یک سیستم توزیع ۱۱۸ شینه ارائه شده است. عدم قطعیت‌های منابع تجدیدپذیر، تقاضای بار و برنامه شارژ/دشوار خودروهای الکتریکی در نظر گرفته شده است. برای ارتقای انعطاف در برنامه‌ریزی، بهره‌بردار قادر خواهد بود تا از طریق بازاریابی سیستم توزیع مسیر شارش توان را تغییر دهد. همچنین در مدل پیشنهادی مشترکین قادر به کاهش هزینه‌های خود از طریق مشارکت در یک برنامه پاسخگویی تقاضا هستند. در مرحله اول مدل پیشنهادی، استراتژی پیشنهادی ریز شبکه‌ها تعیین می‌شود. در مرحله دوم قیمت تسویه بازار توسط بهره‌بردار مستقل سیستم و با توجه به پیشنهادات ارسالی مشخص می‌گردد. در نهایت، در مرحله سوم مسئله برنامه‌ریزی نهایی ریز شبکه‌ها توسط یک روش تئوری بازی مشارکتی حل می‌شود. مدل پیشنهادی توسط حل‌کننده CPLEX در نرم‌افزار گمز حل شده و نتایج نشان می‌دهند که توپولوژی دینامیک انعطاف برنامه‌ریزی را ارتقا داده و از این طریق منجر به کاهش حدود ۱۰ درصدی هزینه بهره‌برداری کل شده است. همچنین نتایج نشان می‌دهند که هماهنگی خودروهای الکتریکی با برنامه‌ریزی، حضور سیستم‌های ذخیره‌ساز و اجرای برنامه پاسخگویی تقاضا منجر به کاهش چشمگیر سطح قیمت تسویه بازار و در نتیجه کاهش هزینه‌های بهره‌برداری می‌شود.

کلمات کلیدی: استراتژی پیشنهادی بهینه، برنامه‌ریزی ریز شبکه‌ها، برنامه‌های پاسخگویی تقاضا، خودروهای الکتریکی، روش تئوری بازی مشارکتی، منابع انرژی تجدیدپذیر

تاریخ ارسال مقاله: ۱۴۰۱/۲/۶

تاریخ بازنگری مقاله: ۱۴۰۱/۴/۲

تاریخ پذیرش مقاله: ۱۴۰۱/۵/۲۸

نام نویسنده‌ی مسئول: دکتر امیر احمدی نژاد
نشانی نویسنده‌ی مسئول: تهران - دانشگاه آزاد اسلامی واحد تهران مرکزی - دانشکده فنی و مهندسی - گروه مهندسی برق

۱- مقدمه

در سالیان اخیر، سرمایه‌گذاران سیستم توزیع توجه ویژه‌ای به احداث منابع تولید پراکنده^۱ (DER) در شبکه داشته‌اند. زیرا این منابع نه تنها تلفات، هزینه‌های بهره‌برداری و آводگی را کاهش داده، بلکه منجر به افزایش قابلیت اطمینان سیستم می‌شوند [۱]. لازم به ذکر است که از میان DERها، منابع انرژی تجدیدپذیر همچون توربین‌های بادی و پنل‌های خورشیدی بیشتر از واحدهای سوخت فسیلی مورد توجه قرار گرفته‌اند. افزایش نفوذ منابع تجدیدپذیر علی‌رغم نکات مثبتی همچون کاهش انتشار گازهای گلخانه‌ای و هزینه‌های بهره‌برداری ناچیز، منجر به افزایش عدم قطعیت‌های سیستم می‌شوند. یکی از روش‌های بسیار موثر برای مقابله با این عدم قطعیت‌ها نصب سیستم‌های ذخیره‌ساز در کنار منابع انرژی تجدیدپذیر (RERs) است. سیستم‌های EES نه تنها مازاد توان تولیدی منابع تجدیدپذیر را در خود ذخیره کرده و از هدر رفتن آن جلوگیری می‌کنند، بلکه با تزریق توان در ساعت‌های پیک به تأمین بار شبکه کمک می‌کنند [۲].

ادغام DERs با سیستم‌های ذخیره‌ساز (EES) و بارهای منعطف، یک شبکه ولتاژ ضعیف را تشکیل می‌دهد، که به این مفهوم ریزشبکه می‌گویند. ریزشبکه‌ها به روش غیرمتتمرکز کنترل شده و بسته به شرایط (نرمال یا اضطراری) در دو حالت متصل و منفصل از شبکه قابل بهره‌برداری هستند. در شرایط بهره‌برداری نرمال، ریزشبکه‌ها به شبکه متصل بوده و قادر به تبادل توان با آن است. در مقابل ریزشبکه‌ها در شرایط اضطراری (رخداد خطا در شبکه) قادر به بهره‌برداری در حالت جزیره‌ای^۲ هستند. لازم به ذکر است که در حالت جزیره‌ای ریزشبکه باید بار مصرف‌کنندگان خود را از طریق DERهای خود تامین کند [۳].

در بازارهای برق تجدیدساختار شده استراتژی ریزشبکه‌ها برای شرکت در بازار باید به گونه‌ای تعیین شود که نه تنها جنبه‌های اقتصادی، بلکه جنبه‌های فنی و امنیتی در آن در نظر گرفته شوند. یکی از روش‌های مؤثر که منجر به ارتقای جنبه‌های فنی و اقتصادی می‌شود، اجرای برنامه‌های پاسخگویی تقاضا (DR) است. این برنامه‌ها در دسته‌های مبتنی بر قیمت و مبتنی بر تشویق دسته‌بندی شده و مشارکت در آن‌ها می‌تواند اختیاری و یا اجباری باشد. بهطور کلی اجرای برنامه‌های DR منجر به ارتقای انعطاف‌پذیری بهره‌برداری می‌شود [۴]. علاوه بر این، در سالیان اخیر و با افزایش چشم‌گیر تعداد خودروهای الکتریکی، استفاده از پتانسیل آن‌ها برای ارتقای انعطاف‌پذیری بهره‌برداری بسیار مورد توجه پژوهشگران این حوزه قرار گرفته است. لازم به ذکر است که برنامه شارژ/دشارژ خودروهای الکتریکی تاثیر بالایی بر تعیین استراتژی ریزشبکه‌ها برای مشارکت در بازار دارد [۵].

پژوهشگران در طی سالیان اخیر استراتژی‌های متعددی برای مشارکت ریزشبکه‌ها در بازار برق با در نظر گرفتن عدم قطعیت‌ها ارائه کرده‌اند. برای مثال، در مرجع [۶] یک استراتژی پیشنهادی برای ریزشبکه‌ها در حضور RERها و با در نظر گرفتن عدم قطعیت‌ها ارائه شده است. سtarیوهای بار و تولید بادی توسط توابع توزیع احتمالاتی تولید شده و توابع روش مبتنی بر سناریو در مدل گنجانده شده‌اند. مدل بر روی یک سیستم توزیع ۳۳ باس پیاده‌سازی شده و تابع هدف آن مشکل از حداقل‌سازی سود و حداقل‌سازی هزینه بهره‌برداری است. نتایج این تحقیق نشان می‌دهند که استراتژی پیشنهادی معرفی شده، منجر به افزایش سود ریزشبکه و کاهش هزینه‌های بهره‌برداری آن می‌شوند. در مرجع [۷] یک استراتژی پیشنهادی جدید برای یک نیروگاه مجازی^۳ (VPP) ارائه شده که Mطالعه شده مشکل از منابع تجدیدپذیر بادی و خورشیدی، توربین‌های گازی و سیستم‌های ذخیره‌ساز است. در این مطالعه برای مقابله با عدم قطعیت‌های مربوط به RERها و بار از روش تئوری تصمیم‌گیری شکاف اطلاعاتی^۴ استفاده شده است. مسئله برنامه‌ریزی به صورت دوهدفه مدل شده و تابع هدف آن شامل سود و انتشار آводگی هستند. نتایج این مطالعه نشان می‌دهند که استراتژی پیشنهادی انتشار را بهطور چشم‌گیری کاهش داده است. در مرجع [۸] یک استراتژی مشارکتی برای تبادل نقطه به نقطه^۵ میان ریزشبکه‌ها ارائه شده که برای مدل سازی عدم قطعیت‌های قیمت و بار از روش تصادفی^۶ استفاده شده است. تابع هدف مدل پیشنهادی حداقل‌سازی هزینه بهره‌برداری کل ریزشبکه‌ها است. برای خطی‌سازی قسمت درجه دوم^۷ فرمول نویسی از روش تقریب درجه دوم مورب^۸ استفاده شده و نتایج نشان‌دهنده تاثیرگذاری استراتژی پیشنهادی هستند. در مرجع [۹] مدل تصادفی سه مرحله‌ای برای مدیریت انرژی همانگ خانه‌های هوشمند^۹ و سیستم توزیع ارائه شده که در آن توربین‌های بادی، پنل‌های خورشیدی و سیستم‌های ذخیره‌ساز انرژی در نظر گرفته شده‌اند. نتایج این تحقیق نشان می‌دهند که مدل پیشنهادی منجر به کاهش هزینه‌های تامین انرژی شده است. در مرجع [۱۰] نویسنده‌گان یک چارچوب مدیریت انرژی ارائه شده که توابع هدف آن حداقل‌سازی هزینه‌های تامین انرژی و حداقل‌سازی شاخص رفاه

خانه‌های هوشمند است. مدل مذکور به صورت خطی مدل شده و نتایج شبیه‌سازی تأثیرگذاری مدل پیشنهادی را بر کاهش هزینه‌ها و افزایش بهره‌برداری سیستم اثبات می‌کنند.

افزایش نرخ مشارکت در برنامه‌های DR در سالیان اخیر نشان داده که این برنامه‌ها از طریق اصلاح پیک تقاضا منجر به کاهش هزینه‌های بهره‌برداری، کاهش تلفات و افزایش قابلیت اطمینان می‌شوند. نویسنده‌گان در مرجع [۱۱] یک استراتژی پیشنهادی ارتقا یافته برای مشارکت ریزشبکه‌ها در بازار روز بعد ارائه شده که در آن برای حل مسئله برنامه‌ریزی از الگوریتم بهینه‌سازی ازدحام ذرات استفاده شده است. در مدل پیشنهادی مصرف کنندگان در یک برنامه DR مشارکت کرده و نتایج نشان می‌دهند که اجرای این برنامه‌ها منجر به کاهش هزینه بهره‌برداری و افزایش قابلیت اطمینان می‌شود. در مرجع [۱۲] یک چارچوب مدیریت انرژی برای برنامه‌ریزی روز بعد یک سیستم توزیع ۳۳ شینه مت Shank از ریزشبکه‌های متصل به هم ارائه شده که در آن ۱۲ درصد مصرف کنندگان قادر به مشارکت در یک برنامه DR هستند. در این مطالعه، ریزشبکه‌ها پیش از مشارکت در بازار تقاضای بار و تولید منابع تجدیدپذیر قرار گرفته در محدوده خود را از طریق شبکه مصنوعی عصبی یادگیری عمیق^۱ پیش‌بینی می‌کنند. این مدل بر روی یک شبکه توزیع ۳۳ شینه پیاده‌سازی شده و نتایج نشان می‌دهند که اجرای برنامه DR و حضور سیستم‌های ذخیره‌ساز منجر به کاهش هزینه‌های بهره‌برداری و افزایش انعطاف‌پذیری سیستم شده است.

در سالیان اخیر بسیاری از پژوهشگران در مدیریت انرژی شبکه‌های توزیع اثرات زیست محیطی را در نظر گرفته‌اند، از آنجا که مسئله گرمایش زمین به یک مشکل بحرانی تبدیل شده است. در این راستا در مرجع [۱۳] یک مدل بهینه برای برنامه‌ریزی اقتصادی-زیست محیطی ریزشبکه‌های چند حاملی^{۱۱} با در نظر گرفتن خودروهای الکتریکی، سیستم‌های ذخیره‌ساز و تکنولوژی برق به گاز^{۱۲} (P2G) ارائه شده است. تابع هدف این مسئله حداقل‌سازی همزمان هزینه بهره‌برداری و انتشار آلودگی است و نتایج نشان می‌دهند که سیستم‌های ذخیره‌ساز و تکنولوژی P2G منجر به کاهش انتشار شده‌اند. همچنین نتایج نشان می‌دهند که اجرای برنامه DR منجر به بهبود شاخص‌های اقتصادی و زیست محیطی شده است. نویسنده‌گان در مرجع [۱۴] یک بررسی کامل بر روی شاخص‌های اقتصادی و زیست محیطی ریزشبکه‌ها در حضور سیستم‌های ذخیره‌ساز هوای فشرده انجام داده‌اند. مسئله توسط روش فازی^{۱۳} به صورت دو هدفه مدل شده و توابع هدف آن شامل هزینه بهره‌برداری و آلودگی است. نتایج نشان می‌دهند که سیستم‌های ذخیره‌ساز نه تنها حذف توان بادی را کاهش داده بلکه انتشار CO₂ را نیز کاهش می‌دهند. در مرجع [۱۵] یک چارچوب تصادفی برای مدیریت انرژی ریزشبکه‌های متصل به هم ارائه شده که در آن هر ریزشbکه دارای منابع حرارتی، بادی و خورشیدی است. مسئله بهره‌برداری به روش سه هدفه مدل شده و اهداف آن حداقل‌سازی هزینه بهره‌برداری، حداقل‌سازی انتشار و حداقل‌سازی پیک بار است. مسئله برنامه‌ریزی به روش مت مرکز^{۱۴} حل شده و نتایج نشان می‌دهند که اجرای برنامه DR منجر به استفاده بیشتر از ظرفیت منابع انرژی تجدیدپذیر شده و در نتیجه انتشار را کاهش می‌دهد.

بسیاری از پژوهش‌ها اثبات کرده‌اند که بازاریابی سیستم توزیع (DFR) به طور چشم‌گیری انعطاف‌پذیری سیستم را ارتقا می‌دهد. برای مثال در مرجع [۱۶] مشارکت ریزشbکه‌ها در بازار رقابتی روز بعد بر اساس یک استراتژی مبتنی بر تئوری بازی تعیین می‌شود. برای ارتقای انعطاف‌پذیری و کاهش هزینه‌های برنامه‌ریزی، بهره‌برداری با امکان اجرای DFR انجام شده است. همچنین در مدل پیشنهادی عدم قطعیت‌های توربین‌های بادی، پنل‌های خورشیدی و بار توسط روش مبتنی بر سناریو مدل شده‌اند. مدل پیشنهادی توسط حل کننده CPLEX در نرم‌افزار GAMS حل شده و نتایج نشان می‌دهند که DFR منجر به کاهش هزینه‌های بهره‌برداری شده است. همچنین نتایج نشان می‌دهند که استراتژی مبتنی بر تئوری بازی هزینه‌های بهره‌برداری را حدود ۲۴ درصد کاهش می‌دهد. در مرجع [۱۷] یک مدل جامع برای برنامه‌ریزی روز بعد یک سیستم توزیع ۳۳ شینه ارائه شده که در آن برنامه‌ریزی تولید همراه با DFR انجام می‌شود. مسئله بهره‌برداری به خطی MILP فرموله شده و توسط روش اپسیلون-مقید^{۱۵} به صورت دوهدفه مدل شده است. در این مطالعه تاثیر DFR بر روی شاخص‌های فنی و اقتصادی بررسی شده و نتایج نشان می‌دهند که اجرای DFR منجر به افزایش قابلیت اطمینان، کاهش تلفات و کاهش هزینه‌های بهره‌برداری می‌شود. در مرجع [۱۸] یک روش مدیریت انرژی بهینه ریزشbکه بر اساس معیارهای فنی اقتصادی و زیست محیطی با استفاده از الگوریتم جستجوی کلاغ ارائه شده است. در مرجع [۱۹] مدیریت بهینه انرژی در شبکه‌های هوشمند چند ناحیه‌ای سبب افزایش رفاه اجتماعی، کاهش هزینه‌های اقتصادی و آلایندگی زیست محیطی خواهد شد که در آن یک رویکرد دوست‌خواه برای حل مدل پیشنهادی

ارائه شده که سطح بالایی جهت کمینه‌سازی هزینه اقتصادی و آلایندگی و سطح پایینی برای پیشنهاده سازی راه اجتماعی و به صورت شرایط خطی کاروش-کوهن-تاکر^{۱۶} (KKT) فرموله شده است. در مرجع [۲۰] خطای حاصل از پیشنهادی سرعت باد و تابش خورشید به وسیله توابع چگالی احتمال مدل‌سازی شده و یک مدل برنامه‌ریزی احتمالاتی برای بهینه‌سازی عملکرد ریز شبکه هوشمند در کوتاه مدت جهت حداقل‌سازی هزینه بهره‌برداری و آلایندگی با حضور منابع تجدیدپذیر پیشنهاد می‌شود.

بررسی مقاله‌ها اخیر نشان می‌دهد که هیچکدام از آن‌ها به طور همزمان تاثیر خودروهای الکتریکی، سیستم‌های ذخیره‌ساز، برنامه‌های DR و بازاری شبكه را بر قیمت برق در بازار روز بعد بررسی نکرده‌اند. همچنین بررسی دقیق نشان می‌دهد که هیچ یک از پژوهش‌های اخیر یک مدل سه مرحله‌ای با در نظر گرفتن روش تئوری بازی برای برنامه‌ریزی ریز شبکه‌ها ارائه نداده‌اند. از این‌رو در این مقاله یک مدل جامع سه مرحله‌ای برای برنامه‌ریزی ریز شبکه‌ها ارائه شده که در آن تاثیر حضور همزمان خودروهای الکتریکی، سیستم‌های ذخیره‌ساز، برنامه‌های DR و بازاری شبكه بر قیمت بازار به طور دقیق بررسی می‌شود. به طور کلی، در این مطالعه یک چارچوب سه مرحله‌ای برای تعیین استراتژی بهینه و برنامه‌ریزی ریز شبکه‌ها با در نظر گرفتن عدم‌قطعیت‌های RERها، تقاضای بار و برنامه شارژ/دشارژ خودروهای الکتریکی (EVs) ارائه شده است. در مدل پیشنهادی، بهره‌بردار قادر به اجرای DFR بوده و یک برنامه DR مبتنی بر تشویق نیز اجرا می‌شود. برای کاهش فضای حل مسئله به سه قسمت تقسیم شده و مسئله برنامه‌ریزی ریز شبکه‌ها در مرحله سوم توسط یک روش تئوری بازی مشارکتی حل می‌شود. به طور کلی نوآوری‌های این تحقیق به شرح زیر هستند:

- ارائه یک مدل خطی سه مرحله‌ای برای تعیین استراتژی پیشنهادی و برنامه‌ریزی ریز شبکه‌ها در حضور همزمان خودروهای الکتریکی، برنامه DR، سیستم‌های ذخیره‌ساز و بازاری شبكه
- کاهش قیمت تسویه بازار از طریق مشارکت خودروهای الکتریکی در برنامه‌ریزی

۲- فرمول سازی ریاضی

در این بخش مدل پیشنهادی در قالب یک مسئله برنامه‌ریزی خطی مختلط عدد صحیح^{۱۷} (MILP) فرموله می‌شود. در مرحله اول این مدل هر ریز شبکه پیشنهاده ات خرید و فروش خود را با هدف حداقل‌سازی هزینه بهره‌برداری تعیین کرده و برای بازار حوضچه^{۱۸} ارسال می‌کند. در مرحله دوم قیمت تسویه بازار توسط بهره‌بردار مستقل سیستم^{۱۹} (ISO) شده و در مرحله سوم برنامه‌ریزی نهایی ریز شبکه‌ها از طریق یک تئوری بازی مشارکتی انجام می‌شود.

۲-۱- مدل سازی مرحله اول

در معادله (۱) تابع هدف مرحله اول ارائه شده که حداقل‌سازی هزینه بهره‌برداری هر ریز شبکه است. قید تعادل توان هر ریز شبکه با در نظر گرفتن تبادل توان آن با بازار در معادله (۲) ارائه شده است. معادله (۳) نیز تبادل توان هر ریز شبکه را محاسبه می‌کند. لازم به ذکر است که معادله (۳) در یک پروسه مبتنی بر تکرار حل می‌شود. تابعهای ارائه شده در معادله‌های (۴) و (۵) قیمت حاشیه‌ای^{۲۰} مربوط به هر قرارداد پیشنهادی در پارامترهای مربوط به خرید و فروش ذخیره می‌کنند.

$$\text{Min } \text{TC}_{\text{mg},s} = \sum_t \left(\sum_{g \in \Delta_{\text{mg}}^{\text{gt}}} C_{g,t,s}^{\text{gt}} + \sum_{g \in \Delta_{\text{mg}}^{\text{pv}}} C_{g,t,s}^{\text{ren}} + \sum_{e \in \Delta_{\text{mg}}^{\text{es}}} C_{e,t,s}^{\text{ees}} \right. \\ \left. + \sum_{v \in \Delta_{\text{mg}}^{\text{v}}} C_{v,t,s}^{\text{ev}} + \sum_{n \in \Delta_{\text{mg}}^{\text{n}}} C_{n,t,s}^{\text{dr}} + \sum_{n \in \Delta_{\text{mg}}^{\text{n}}} C_{n,t,s}^{\text{ens}} \right) \quad (1)$$

$$\sum_{g \in \Delta_{\text{mg}}^{\text{gt}}} P_{g,t,s}^{\text{gt}} + \sum_{g \in \Delta_{\text{mg}}^{\text{w}}} P_{g,t,s}^{\text{w}} + \sum_{g \in \Delta_{\text{mg}}^{\text{pv}}} P_{g,t,s}^{\text{pv}} + \sum_{e \in \Delta_{\text{mg}}^{\text{es}}} (P_{e,t,s}^{\text{dch}} - P_{e,t,s}^{\text{ch}}) = P_{\text{mg},t,s}^{\text{market}} + P_{\text{mg},t,s}^{\text{load}} - P_{\text{mg},t,s}^{\text{load,ess}}, \text{MC}_{\text{mg},t,s} \quad (2)$$

$$P_{\text{mg},t,s,\text{iter}}^{\text{market}} = P_{\text{mg}}^{\text{market,min}} + \left(\frac{\text{iter}-1}{\text{iter}^{\text{max}}-1} \right) (P_{\text{mg}}^{\text{market,max}} - P_{\text{mg}}^{\text{market,min}}) \quad (3)$$

$$\text{if } P_{\text{mg},t,s}^{\text{market}} \leq 0 \rightarrow \begin{cases} P_{\text{mg},i=\text{iter},t,s}^{\text{buy}} = |P_{\text{mg},t,s,\text{iter}}^{\text{market}}| \\ \pi_{\text{mg},i=\text{iter},t,s}^{\text{buy}} = \text{MC}_{\text{mg},t,s} \end{cases} \quad (4)$$

$$\text{if } P_{mg,t,s}^{\text{market}} \geq 0 \rightarrow \begin{cases} P_{mg,j=iter,t,s}^{\text{sell}} = P_{mg,t,s,iter}^{\text{market}} \\ \pi_{mg,j=iter,t,s}^{\text{sell}} = MC_{mg,t,t} \end{cases} \quad (5)$$

۲-۲- مدل‌سازی مرحله دوم

رابطه‌های مورد نیاز برای اجرای مرحله دوم مدل پیشنهادی در معادله‌های (۶) تا (۱۱) ارائه شده‌اند. در این مرحله، ISO قیمت تسویه بازار را با توجه به پیشنهادهای ارسال شده توسط ریز شبکه‌ها، تعیین می‌کند. در این راستا معادله (۶) نشان می‌دهد که تابع هدف مرحله دوم حداکثرسازی رفاه اجتماعی^{۲۱} است. قید تعادل توان ریز شبکه‌ها با در نظر گرفتن تبادل توان با سایر ریز شبکه‌ها در معادله (۷) بازنویسی می‌شود. در معادله (۷) میزان تبادل توان هر ریز شبکه با شرکت توزیع (DisCo) محاسبه می‌شود. مقادیر متغیرهای مربوط به خرید و فروش در معادله‌های (۱۰) و (۱۱) به ترتیب با توجه به پیشنهادات خرید و فروش ارسال شده، تعیین می‌شود. در نهایت برای جلوگیری از تأیید همزمان پیشنهادات خرید و فروش مربوط به یک ریز شبکه، قید (۱۰) ارائه شده است.

$$\text{Max SW} = \sum_s \rho_s \sum_t \sum_{mg} \left(\sum_i \pi_{mg,i,t,s}^{\text{buy}} P_{mg,i,t,s}^{\text{buy}} - \sum_j \pi_{mg,j,t,s}^{\text{sell}} P_{mg,j,t,s}^{\text{sell}} \right) \quad (6)$$

$$P_{mg,t,s}^{\text{market}} + \sum_{g \in \Delta_{mg}^{\text{gt}}} P_{g,t,s}^{\text{gt}} + \sum_{g \in \Delta_{mg}^{\text{w}}} P_{g,t,s}^{\text{w}} + \sum_{g \in \Delta_{mg}^{\text{pv}}} P_{g,t,s}^{\text{pv}} + \sum_{e \in \Delta_{mg}^{\text{es}}} \left(P_{e,t,s}^{\text{dch}} - P_{e,t,s}^{\text{ch}} \right) = \sum_{l \in \Delta_{mg}^{\text{l}}} \kappa_{l,mg} P_{l,t,s}^{\text{line}} \quad (7)$$

$$\sum_i P_{mg,i,t,s}^{\text{buy}} - \sum_j P_{mg,j,t,s}^{\text{sell}} = P_{mg,t,s}^{\text{market}} \quad (8)$$

$$P_{mg,j,t,s}^{\text{sell}} \leq P_{mg,j,t,s}^{\text{buy}} I_{mg,j,t,s}^{\text{sell}} \quad (9)$$

$$P_{mg,i,t,s}^{\text{buy}} \leq P_{mg,i,t,s}^{\text{buy}} I_{mg,i,t,s}^{\text{buy}} \quad (10)$$

$$0 \leq \sum_j I_{mg,j,t,s}^{\text{sell}} + \sum_i I_{mg,i,t,s}^{\text{buy}} \leq 1 \quad (11)$$

۳-۲- مدل‌سازی مرحله سوم

در مرحله سوم مسئله برنامه‌ریزی روز بعد ریز شبکه‌ها توسط یک روش تئوری بازی مشارکتی، حل می‌شود [۱۶]. لازم به ذکر است که در این مرحله تمامی قیود امنیتی و شارش توان در نظر گرفته می‌شوند. در معادله‌های (۱۲) تا (۱۵) شرایط مورد نیاز برای اجرای تئوری بازی مشارکتی ارائه شده است. در این راستا در معادله (۱۲) تابع هدف مسئله بهره‌برداری کلیه بازیکنان نشان داده شده است که حداقل‌سازی هزینه بهره‌برداری است. لازم به ذکر است که این تابع به طور جداگانه از دیدگاه هر بازیکن حل می‌شود. تابع ارائه شده در معادله (۱۳) مقدار عادی^{۲۲} تابع هدف هر بازیکن را محاسبه می‌کند که تابعی از بهترین (مینیمم) و بدترین (ماکریمم) مقادیر به دست آمده برای آن است. لازم به ذکر است که بهترین مقدار برای هر بازیکن در هنگام حل از دیدگاه خودش به دست می‌آید، در حالی که بدترین مقدار آن در هنگام حل توسط سایر بازیکنان به دست می‌آید. معادله (۱۴) بدترین مقدار به دست آمده برای هر بازیکن را تعیین می‌کند. در نهایت تابع هدف بازی در معادله (۱۵) ارائه شده است، که حداکثرسازی انحراف هر بازیکن از بدترین مقدار خودش است.

$$TC_{mg} = \sum_s \rho_s \sum_t \left(\sum_{g \in \Delta_{mg}^{\text{gt}}} C_{g,t,s}^{\text{gt}} + \sum_{g \in \Delta_{mg}^{\text{w,pv}}} C_{g,t,s}^{\text{ren}} + \sum_{e \in \Delta_{mg}^{\text{es}}} C_{e,t,s}^{\text{es}} \right. \\ \left. + \sum_{v \in \Delta_{mg}^{\text{v}}} C_{v,t,s}^{\text{ev}} + \sum_{n \in \Delta_{mg}^{\text{n}}} C_{n,t,s}^{\text{dr}} + \sum_{n \in \Delta_{mg}^{\text{n}}} C_{n,t,s}^{\text{ens}} \right) \quad (12)$$

$$TC_{mg}(x) \in [TC_{mg}^{\min}(x^{\min}), TC_{mg}^{\max}(x^{\max})] \quad (13)$$

$$TC_{mg}(x) \xrightarrow{\text{normalize}} TC_{mg}^{\text{norm}}(x)$$

$$TC_{mg}^{\text{worst}} = \max_{\text{player} \in \{mg_1, mg_2, mg_3, mg_4\}} TC_{mg}^{\text{norm}}(x_{\text{player}}^{\min}) \quad (14)$$

$$\text{Max GW} = \prod_{\text{player}=1} \left(TC_{\text{player}}^{\text{worst}} - TC_{\text{player}} \right) \quad (15)$$

۴-۲- برنامه پخش بار

برنامه پخش بار توسط معادله‌های (۱۶) تا (۲۵) مدل می‌شود تا از تبادل غیر واقعی توان در شبکه جلوگیری شود [۱۵]. توان‌های ISO و راکتیو عبوری از هر خط بهترتبیب از طریق معادله‌های (۱۶) و (۱۷) محاسبه می‌شوند. با توجه به این موضوع که قادر به اجرای DFR است، ممکن است در هر ساعت برخی از خطوط غیرفعال شوند تا ساختار تغییر کند. بنابراین، برای جلوگیری از اعمال قیود (۱۶) و (۱۷) بر روی خطوط غیرفعال از روش Big M استفاده شده است، تا در شرایط مذکور این قیود متعادل شوند. توان ظاهری عبوری از خطوط توسط قید (۱۸) محدود می‌شود. اندازه ولتاژ و زاویه آن در هر شین نیز بهترتبیب توسط قیود (۱۹) و (۲۰) محدود می‌شوند. تلفات توان توسط معادله (۲۱) محاسبه می‌شود که به توان‌های اکتیو و راکتیو عبوری از آن وابسته می‌شد. در نهایت معادله‌های (۲۲) و (۲۳) تعادل تولید و مصرف توان‌های اکتیو و راکتیو را در هر شین تضمین می‌کنند.

$$G_l(V_{n,t,s} - V_{m,t,s}) + B_l(\theta_{n,t,s} - \theta_{m,t,s}) - M(1 - I_{l,t,s}^{\text{line}}) \leq \frac{P_{l,t,s}^{\text{line}} + P_{l,t,s}^{\text{loss}}}{S_{\text{base}}} \quad (16)$$

$$B_l(V_{n,t,s}^{\text{bus}} - V_{m,t,s}^{\text{bus}}) - G_l(\theta_{n,t,s}^{\text{bus}} - \theta_{m,t,s}^{\text{bus}}) - M(1 - I_{l,t,s}^{\text{line}}) \leq \frac{Q_{l,t,s}^{\text{line}}}{S_{\text{base}}} \leq B_l(V_{n,t,s}^{\text{bus}} - V_{m,t,s}^{\text{bus}}) - G_l(\theta_{n,t,s}^{\text{bus}} - \theta_{m,t,s}^{\text{bus}}) + M(1 - I_{l,t,s}^{\text{line}}) \quad (17)$$

$$0 \leq (P_{l,t,s}^{\text{line}})^2 + (Q_{l,t,s}^{\text{line}})^2 \leq (S_l^{\max})^2 I_{l,t,s}^{\text{line}} \quad (18)$$

$$V^{\min} \leq V_{n,t,s}^{\text{bus}} \leq V^{\max} \quad (19)$$

$$\theta^{\min} \leq \theta_{n,t,s}^{\text{bus}} \leq \theta^{\max} \quad (20)$$

$$P_{l,t,s}^{\text{loss}} = r_l \left((P_{l,t,s}^{\text{line}})^2 + (Q_{l,t,s}^{\text{line}})^2 \right) \quad (21)$$

$$\sum_{n \in \Delta_{\text{sub}}} P_{n,t,s}^{\text{sub}} + \sum_{g \in \Delta_n^{\text{gt}}} P_{g,t,s}^{\text{gt}} + \sum_{g \in \Delta_n^w} P_{g,t,s}^w + \sum_{g \in \Delta_n^{\text{pv}}} P_{g,t,s}^{\text{pv}} + \sum_{e \in \Delta_n^{\text{es}}} (P_{e,t,s}^{\text{dch}} - P_{e,t,s}^{\text{ch}}) = \sum_{l \in \Delta_n^l} \kappa_{l,n} P_{l,t,s}^{\text{line}} + P_{n,t,s}^{\text{load}} \quad (22)$$

$$\sum_{n \in \Delta_{\text{sub}}} Q_{n,t,s}^{\text{sub}} + \sum_{g \in \Delta_n^{\text{gt}}} Q_{g,t,s}^{\text{gt}} + \sum_{g \in \Delta_n^w} Q_{g,t,s}^w + \sum_{g \in \Delta_n^{\text{pv}}} Q_{g,t,s}^{\text{pv}} = \sum_l \kappa_{l,n} Q_{l,t,s}^{\text{line}} + Q_{n,t,s}^{\text{load}} \quad (23)$$

۵-۲- قیود بازاریابی سیستم توزیع

قیود (۲۴) تا (۲۶) ارائه شده‌اند تا شعاعی بودن شبکه را در طی اجرای DFR حفظ کنند. جهت شارش توان خط ۱ در زمان t از طریق معادله (۲۴) تعیین می‌شود. قید (۲۵) بیان می‌کند که شین n در زمان t حداکثر از یک خط می‌تواند توان دریافت کند. در نهایت قید (۲۶) از تزریق توان به شین مرجع جلوگیری می‌کند [۲۱].

$$I_{n,m,n,t,s}^{\text{parent}} + I_{m,n,t,s}^{\text{parent}} = I_{l,t,s}^{\text{line}} \quad (24)$$

$$\sum_n I_{n,m,n,t,s}^{\text{parent}} \leq 1 \quad (25)$$

$$\sum_{n \in \Delta_{\text{sub}}} I_{m,n,t,s}^{\text{parent}} = 0 \quad (26)$$

۶-۲- برنامه پاسخگویی تقاضا

در معادله‌های (۲۷) تا (۳۴)، رابطه‌های مورد نیاز برای اجرای یک برنامه DR مبتنی بر تشویق ارائه شده‌اند [۱۷]. در معادله (۲۷) تقاضای بار پس از مشارکت در برنامه DR محاسبه می‌شود، که تابعی از افزایش/کاهش بار توسط مشترکین است. قید (۲۸) برای جلوگیری از تغییر ضریب توان پس از اجرای برنامه DR ارائه شده است. معادله‌های (۲۹) و (۳۰) بهترتبیب افزایش و کاهش بار در هر ساعت را محدود می‌کنند. قید (۳۱) از افزایش و کاهش همزمان بار پیش‌گیری می‌کند. قید برابری مجموع افزایش و

کاهش بار در طول دوره بهره‌برداری توسط معادله (۳۲) مدل شده است. در نهایت معادله‌های (۳۳) و (۳۴) هزینه اجرای برنامه DR و جریمه مرتبط با بار تأمین نشده را محاسبه می‌کنند.

$$P_{n,t,s}^{\text{load}} = P_{n,t,s}^{\text{load,base}} + P_{n,t,s}^{\text{load,dr+}} - P_{n,t,s}^{\text{load,dr-}} - P_{n,t,s}^{\text{load,ens}} \quad (37)$$

$$Q_{n,t,s}^{\text{load}} = Q_{n,t,s}^{\text{load,base}} + \tan_n^{\text{load}} \left(P_{n,t,s}^{\text{load,dr+}} - P_{n,t,s}^{\text{load,dr-}} - P_{n,t,s}^{\text{load,ens}} \right) \quad (38)$$

$$0 \leq P_{n,t,s}^{\text{load,dr+}} \leq \delta_n^{\max} P_{n,t,s}^{\text{load,base}} I_{n,t,s}^{\text{dr+}} \quad (39)$$

$$0 \leq P_{n,t,s}^{\text{load,dr-}} \leq \delta_n^{\max} P_{n,t,s}^{\text{load,base}} I_{n,t,s}^{\text{dr-}} \quad (40)$$

$$0 \leq I_{n,t,s}^{\text{dr+}} + I_{n,t,s}^{\text{dr-}} \leq 1 \quad (41)$$

$$\sum_t P_{n,t,s}^{\text{load,dr+}} = \sum_t P_{n,t,s}^{\text{load,dr-}} \quad (42)$$

$$C_{n,t,s}^{\text{dr}} = \pi^{\text{dr}} \left(P_{n,t,s}^{\text{load,dr+}} + P_{n,t,s}^{\text{load,dr-}} \right) \quad (43)$$

$$C_{n,t,s}^{\text{ens}} = \pi^{\text{ens}} P_{n,t,s}^{\text{load,ens}} \quad (44)$$

۷-۲- قیود بهره‌برداری از واحدهای حرارتی

قیود بهره‌برداری از واحدهای حرارتی در رابطه‌های (۳۵) تا (۳۹) ارائه شده‌اند. توان‌های اکتیو و راکتیو تولیدی توسط واحدهای حرارتی بهترتیب توسط قیود (۳۵) و (۳۶) محدود می‌شوند. محدودیت‌های شبیه افزایشی^{۲۵} و شبیه کاهشی^{۲۶} واحدهای حرارتی نیز در رابطه‌های (۳۷) و (۳۸) ارائه شده‌اند. در نهایت معادله (۳۹) توان تولیدی واحدهای حرارتی را محاسبه می‌کند [۱۲].

$$P_{g,t,s}^{\text{gt,min}} I_{g,t,s} \leq P_{g,t,s}^{\text{gt}} \leq P_{g,t,s}^{\text{gt,max}} I_{g,t,s} \quad (35)$$

$$Q_{g,t,s}^{\text{gt,min}} I_{g,t,s} \leq Q_{g,t,s}^{\text{gt}} \leq Q_{g,t,s}^{\text{gt,max}} I_{g,t,s} \quad (36)$$

$$P_{g,t,s}^{\text{gt}} - P_{g,t-1,s}^{\text{gt}} \leq RU_g \quad (37)$$

$$P_{g,t-1,s}^{\text{gt}} - P_{g,t,s}^{\text{gt}} \leq RD_g \quad (38)$$

$$C_{g,t,s}^{\text{gt}} = a_g I_{g,t,s} + b_g P_{g,t,s}^{\text{gt}} + c_g \left(P_{g,t,s}^{\text{gt}} \right)^2 \quad (39)$$

۸-۲- قیود بهره‌برداری از منابع انرژی تجدیدپذیر

تابع چهار قسمتی ارائه شده در رابطه (۴۰) چگونگی تولید توان توسط توربین‌های بادی را نشان می‌دهد [۲۲]. این تابع بیان می‌کند که اگر سرعت باد در یک محدوده قابل قبول نباشد، خروجی توربین صفر خواهد بود. معادله (۴۱) بیان می‌کند که توان استخراج شده از پنل‌های خورشیدی به شدت تابش در ساعت جاری، شاخص تابش استاندارد، توان نامی پنل و راندمان آن بستگی دارد. در معادله (۴۲) نیز هزینه بهره‌برداری از واحدهای بادی و خورشیدی محاسبه می‌شود.

$$P_{g,t,s}^w = \begin{cases} 0, & V_{g,t,s} < V_g^{\text{ci}} \\ P_g^r \frac{V_{g,t,s} - V_w^{\text{ci}}}{V_w^r - V_w^{\text{ci}}}, & V_g^{\text{ci}} \leq V_{g,t,s} < V_g^r \\ P_g^r, & V_g^r \leq V_{g,t,s} < V_g^{\text{co}} \\ 0, & V_{g,t,s} \geq V_g^{\text{co}} \end{cases} \quad (40)$$

$$P_{g,t,s}^{\text{pv}} = \eta^{\text{pv}} \frac{G_{g,t,s}}{G_{\text{std}}} P_g^r \quad (41)$$

$$C_{g,t,s}^{\text{ren}} = \pi_g^{\text{ren}} \left(P_{g,t,s}^w + P_{g,t,s}^{\text{pv}} \right) \quad (42)$$

۹- سیستم‌های ذخیره‌ساز

سطح انرژی ذخیره شده در سیستم‌های ذخیره‌ساز از طریق معادله (۴۳) به دست می‌آید، که متأثر از سطح انرژی ساعت قبل و شارژ/دشارژ ساعت جاری است [۱۷]. شارژ و دشارژ ساعتی به ترتیب توسط قیود (۴۴) و (۴۵) محدود می‌شوند. محدودیت مربوط به سطح انرژی ذخیره‌ساز نیز توسط قید (۴۶) مدل شده است. قید (۴۷) نشان می‌دهد که سطح انرژی ذخیره‌ساز در ساعت‌های اول و آخر باید برابر باشد. قید (۴۸) محدودیت همزمانی شارژ و دشارژ را مدل می‌کند و در نهایت هزینه بهره‌برداری سیستم‌های ذخیره‌ساز از طریق معادله (۴۹) محاسبه می‌شود.

$$E_{e,t,s} = E_{e,t-1,s} + \left(\eta^{ch} P_{e,t,s}^{ch} - \frac{P_{e,t,s}^{dch}}{\eta^{dch}} \right) dt \quad (43)$$

$$0 \leq P_{e,t,s}^{ch} \leq P_e^{ch,max} I_{e,t,s}^{ch} \quad (44)$$

$$0 \leq P_{e,t,s}^{dch} \leq P_e^{dch,max} I_{e,t,s}^{dch} \quad (45)$$

$$E_e^{\min} \leq E_{e,t,s} \leq E_e^{\max} \quad (46)$$

$$E_{e,t=0,s} = E_{e,t=24,s} = E_e^{initial} \quad (47)$$

$$0 \leq I_{e,t,s}^{ch} + I_{e,t,s}^{dch} \leq 1 \quad (48)$$

$$C_{e,t,s}^{ees} = \pi^{ees} \left(P_{e,t,s}^{ch} + P_{e,t,s}^{dch} \right) \quad (49)$$

۱۰-۲- خودروهای الکتریکی

معادله‌های (۵۰) تا (۵۷) چگونگی بهره‌برداری از EVها را نشان می‌دهند. در این راستا قید (۵۰) مرزهای بالایی و پایینی سطح انرژی EV را محدود می‌کند [۱۷]. لازم به ذکر است که سطح انرژی EV در زمان t از طریق معادله (۵۱) محاسبه می‌شود. محدودیت‌های شارژ و دشارژ ساعتی به ترتیب توسط قیود (۵۲) و (۵۳) مدل می‌شوند. قید (۵۴) عدم همزمانی شارژ و دشارژ را تضمین می‌کند. تعداد EV‌های حاضر در پارکینگ در زمان t از طریق معادله (۵۵) تعیین می‌شود، که تابعی از ضریب تحرك^۷ و تعداد پیش‌بینی شده برای حضور EV‌ها در پارکینگ است. لازم به ذکر است که تعداد پیش‌بینی شده برای حضور EV‌ها در پارکینگ از طریق تابع گوسی ارائه شده در معادله (۵۶) به دست می‌آید. در نهایت پاداش پرداختی به EV‌ها از طریق معادله (۵۷) محاسبه می‌شود که تابعی از میزان دشارژ باتری آن‌ها است.

$$E_v^{\min,EV} \leq E_{v,t,s}^{EV} \leq E_v^{\max,EV} \quad (50)$$

$$E_{v,t,s}^{ev} = E_{v,t-1,s}^{ev} + \left(P_{v,t,s}^{ch,ev} \eta_{ch}^{ev} \right) \Delta t - \left(\frac{P_{v,t,s}^{dch,ev}}{\eta_{dch}^{ev}} \right) \Delta t \quad (51)$$

$$P_{v,t,s}^{ch,ev} \leq P_v^{ch,max} I_{v,t,s}^{ch,ev} \quad (52)$$

$$P_{h,v,t,s}^{dch,ev} \leq P_v^{dch,max} I_{h,v,t,s}^{dch,ev} \quad (53)$$

$$0 \leq I_{v,t,s}^{ch,ev} + I_{v,t,s}^{dch,ev} \leq 1 \quad (54)$$

$$\sum_v \left(I_{v,t,s}^{ch,ev} + I_{v,t,s}^{dch,ev} \right) = \left(1 - m_{mg,t} \right) N_{mg,t,s}^{ev} \quad (55)$$

$$N_{mg,t,s}^{ev} = N_{mg}^{\max,ev} \int_{t_0}^t \frac{1}{\sigma_{mg} \sqrt{2\pi}} e^{-\frac{(x-\mu_{mg})^2}{\sigma_{mg}^2}} dx \quad (56)$$

$$C_{v,t,s}^{ees} = \pi^{ev} P_{v,t,s}^{dch,ev} \quad (57)$$

۳- روش حل مدل پیشنهادی

یک فلوچارت در شکل (۱) برای نشان دادن پروسه حل ارائه شده است. لازم به ذکر است که مدل MILP پیشنهادی توسط حل‌کننده CPLEX در نرم‌افزار گمز حل شده است. مطابق فلوچارت در گام اول اطلاعات شبکه به نرم‌افزار داده شده و در گام دوم پروسه ساخت سناریوها انجام می‌شود. در این راستا در ابتدا ۱۰۰۰ سناریو برای هر پارامتر نایقین تولید شده و سپس برای

کاهش بار محاسباتی تعداد سناریوهای تولید شده توسط الگوریتم SCENRED که یکی از تولباکس‌های نرمافزار گمز است، به ۱۰ عدد کاهش می‌یابد. در این مطالعه، تقاضای بار، سرعت باد و تابش خورشید به عنوان پارامترهای نایقین در نظر گرفته شده و برای تولید سناریوهای آن‌ها به ترتیب ازتابع‌های توزیع احتمالاتی نرمال، ویبول و بتا استفاده شده است. در گام سوم، مرحله اول مدل پیشنهادی حل می‌شود. در این مرحله، ریزشبکه‌ها پیشنهادات خرید و فروش خود را تعیین کرده و به بازار حوضچه ارسال می‌کنند. در گام چهارم، مرحله سوم مدل پیشنهادی حل می‌شود، که تعیین قیمت تسویه بازار توسط ISO است. در نهایت در گام پنجم مرحله سوم مدل پیشنهادی حل می‌شود، که حل مسئله برنامه‌ریزی ریزشبکه‌ها توسعه یک روش تئوری بازی مشارکتی است. معادله‌های مورد نیاز برای حل هر یک از مرحله‌های مدل پیشنهادی به شرح زیر هستند:

مرحله اول: معادله‌های (۱) الی (۵) و معادله‌های (۲۷) الی (۵۷)

مرحله دوم: معادله‌های (۶) الی (۱۱)

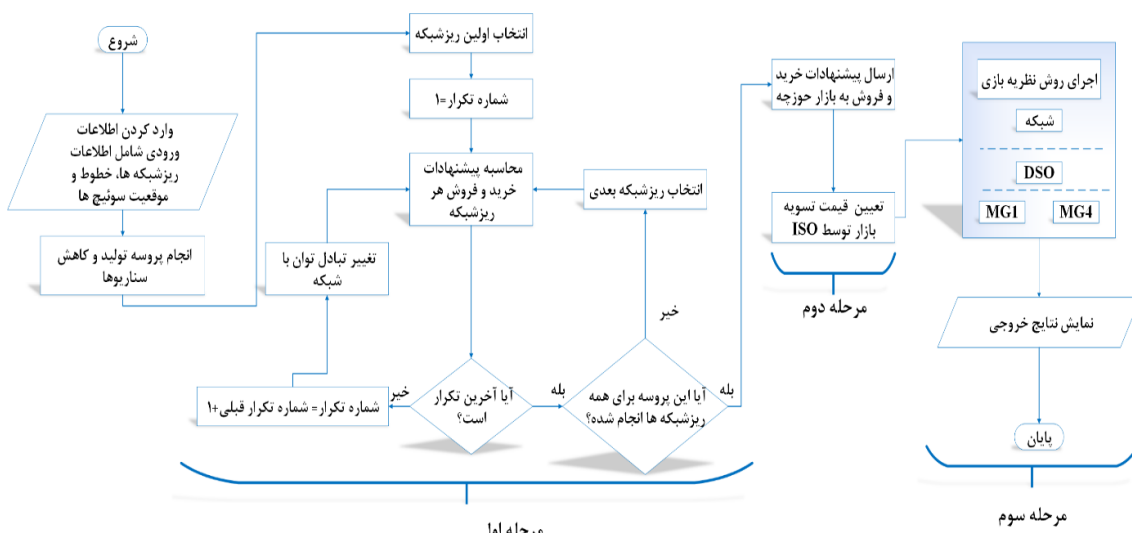
مرحله سوم: معادله‌های (۱۲) الی (۵۷)

۴- شبیه‌سازی مدل پیشنهادی

۴-۱- شبکه مورد بررسی و داده‌های ورودی شبیه‌سازی

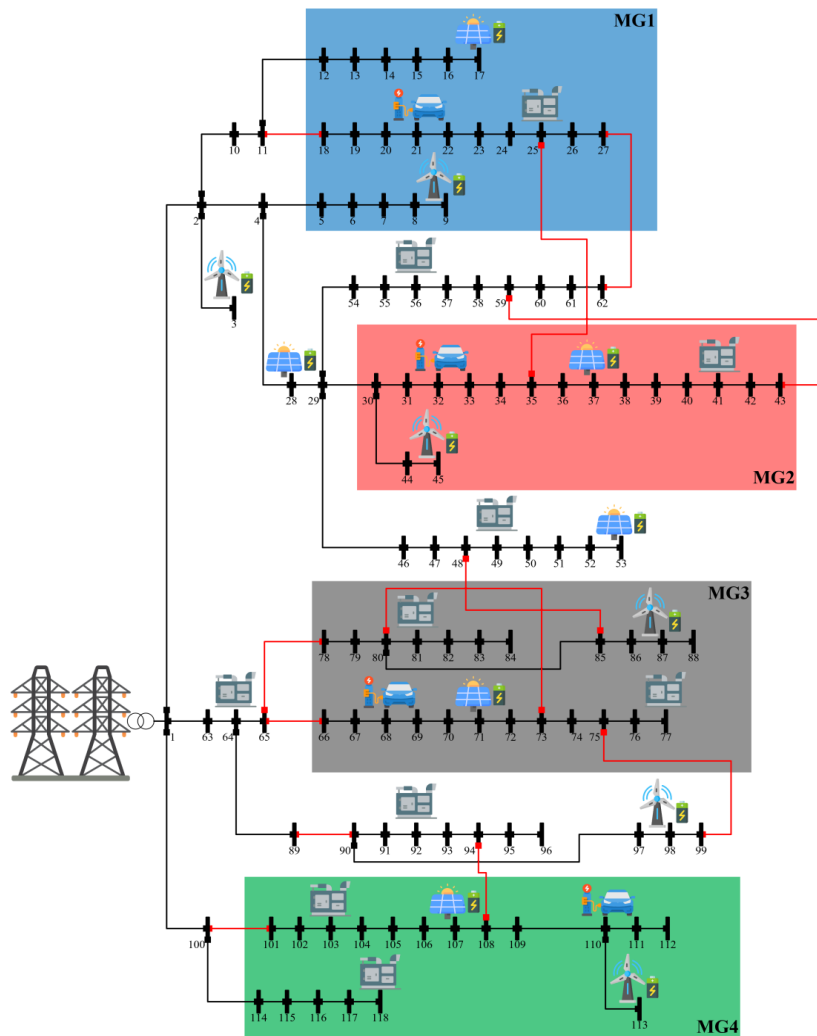
در شکل (۲) ساختار شبکه تحت مطالعه در این مقاله نشان داده شده که یک شبکه ۱۱۸ شینه اصلاح شده است. همان‌طور که می‌توان دید این شبکه از چهار ریزشبکه تشکیل شده و بخشی از آن نیز متعلق به DisCo است. اطلاعات مربوط به خطوط و ساختار شبکه مطابق با مرجع [۲۱] است. ساختار این شبکه پویا^{۲۸} بوده و خطوط مجهز به کلیدهای سکشنلایزر با رنگ قرمز نشان داده شده‌اند. مطابق شکل، در کنار هر یک از واحدهای بادی و خورشیدی یک سیستم ذخیره‌ساز قرار گرفته است. همچین‌هنر ریزشبکه مجهز به یک پارکینگ خودروهای الکتریکی است. لازم به ذکر است که در مدل پیشنهادی مالکیت ریزشبکه‌ها خصوصی فرض شده و ISO نیز به عنوان یک نهاد بی‌طرف، مسئول برگزاری بازار رقابتی است. رایانه استفاده شده برای شبیه‌سازی مسئله دارای پیکربندی CPU: Intel corei5-6400 و Ram:4GB و HDD:1TB و زمان حل ۱۶۸/۲ ثانیه است.

همان‌طور که در جدول (۱) نشان داده شده، مدل پیشنهادی در قالب شش مورد مطالعاتی حل می‌شود. در جدول (۲) داده‌های مورد نیاز برای پیاده‌سازی مدل پیشنهادی ارائه شده‌اند. در شکل‌های (۳) و (۴) نیز به ترتیب سناریوهای تولید شده و کاهش داده شده مربوط به پارامترهای نایقین نشان داده شده‌اند.



شکل (۱): فلوچارت حل مدل سه مرحله‌ای پیشنهادی

Figure (1): Flowchart for solving the proposed three step model



شکل (۲): ساختار شبکه توزیع ۱۱۸ شینه اصلاح شده مورد بررسی در این مقاله

Figure (2): The structure of the 118 modified bus distribution network is examined in this paper

Table (1): Information about case studies

جدول (۱): اطلاعات مربوط به موارد مطالعاتی

برنامه پاسخگویی تقاضا	خودروهای الکتریکی	سیستم‌های ذخیره‌ساز	عدم قطعیت‌ها	بازآرایی سیستم توزیع	مورد مطالعاتی
×	×	×	×	×	۱
×	×	×	×	✓	۲
×	×	×	✓	✓	۳
×	×	✓	✓	✓	۴
×	✓	✓	✓	✓	۵
✓	✓	✓	✓	✓	۶

در جدول‌های (۳) و (۴) نتایج بهره‌برداری به دست آمده از حل موارد مطالعاتی ۱ و ۲ ارائه شده‌اند. در مورد ۱ ساختار شبکه ثابت بوده، در حالی که در مورد ۲ ساختار دینامیک (امکان اجرای DFR) در نظر گرفته شده است. نتایج بهره‌برداری نشان می‌دهند که ساختار دینامیک در مورد ۲ منجر به کاهش هزینه بهره‌برداری کل نسبت به حالت ۱ شده، که دلیل این امر کاهش هزینه بهره‌برداری ریزشبکه‌ها در این مورد است. قابل ذکر است که ساختار دینامیک در مورد ۲ منجر به تبادل توان بیشتر میان

ریزشبکه‌ها در مقایسه با مورد ۱ شده است. آنالیز این شکل‌ها نشان می‌دهد که ریزشبکه‌ها در مورد ۲ تبادل توان بیشتری با هم داشته‌اند و در مقابل تبادل آن‌ها با DisCo کاهش یافته است، که دلیل این امر افزایش انعطاف شبکه در این مورد است. به عبارت دیگر ساختار دینامیک امکان استخراج توان بیشتر از DER‌ها را فراهم کرده است.

همان‌طور که در بخش فرمول‌سازی گفته شد، در روش تئوری بازی به کار گرفته شده در این مقاله، مسئله برنامه‌ریزی در ابتدا از دید هر بازیکن به‌طور جداگانه حل شده و مقادیر حداقل و حداکثر تابع هدف هر یک از بازیکنان به‌دست می‌آیند. سپس تابع هدف بازی اصلی حل می‌شود، که حداکثرسازی انحراف هر بازیکن از بدترین مقدار خودش است. لازم به ذکر است که با توجه به در نظر گرفتن قیود امنیتی و شارش توان در لایه سوم، جواب نهایی به‌دست آمده برای هر بازیکن نه تنها به مقادیر مینیمم و ماکریمم تابع هدف آن، بلکه به ساختار شبکه وابسته است. در این راستا در شکل (۵) انحراف مقدار نهایی تابع هدف هر بازیکن از مقدار بهینه آن در موردهای ۱ و ۲ مقایسه شده تا تأثیر ساختار دینامیک بر روی آن بررسی شود. همان‌طور که این شکل نشان می‌دهد انحراف مقدار نهایی ریزشبکه‌ها و DisCo از مقدار بهینه آن‌ها کاهش یافته است. تحلیل این شکل‌ها نشان می‌دهد که ساختار دینامیک منجر به کاهش قدرت بازار و دستیابی به یک نقطه تعادل بهتر شده است.

Table (2): Data related to simulation parameters
جدول (۲): داده‌های مربوط به پارامترهای شبیه‌سازی

مقدار	پارامتر	مقدار	پارامتر
۱۰۰۰	G_{std}	یک ساعت	dt
۱۲ درصد	δ_n^{max}	۹۵ درصد	η^{ch} / η^{dch}
۵۰ درصد	$E_e^{initial}$	۹۸٪	η^{pv}
۱۰۰ درصد / ۳۰ درصد	E_e^{min} / E_e^{max}	۲۰	$iter^{max}$
۰/۹ / ۱/۱ پریونیت	V^{min} / V^{max}	۲۵-۱۴-۴ متر بر ثانیه	$v_g^{ci} / v_g^r / v_g^{co}$
-π / π رادیان	$\theta^{min} / \theta^{max}$	۱۵۰ (kWh)	$E_v^{max,EV}$

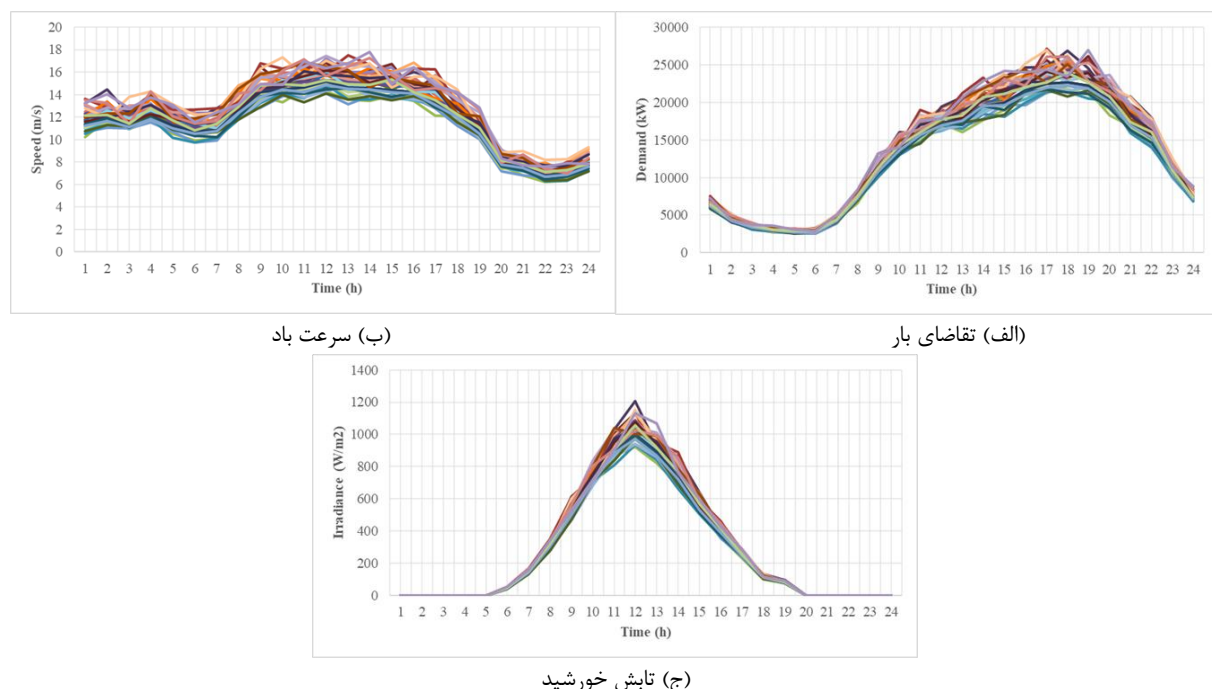
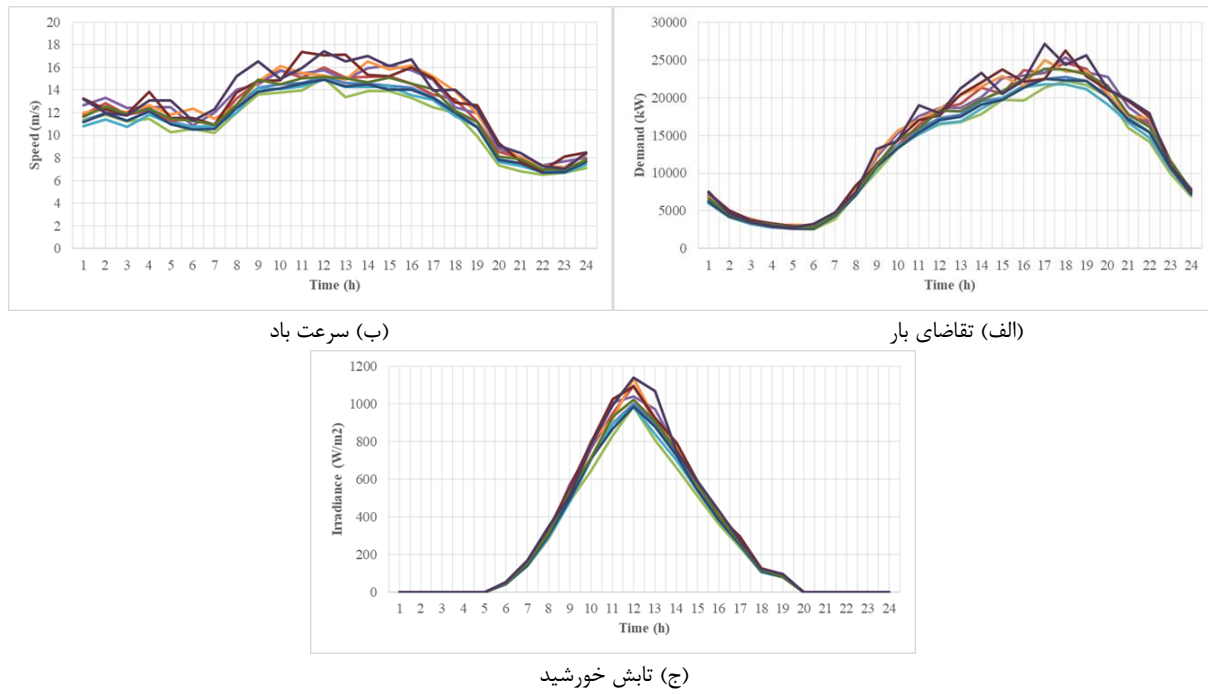


Figure (3): Generation scenarios, a) Load demand, b) Wind speed, c) Solar radiation



شکل (۴): سناریوهای کاهش یافته

Figure (4): Decreased scenarios, a) Load demand, b) Wind speed, c) Solar radiation

Table (3): Results from the first case study

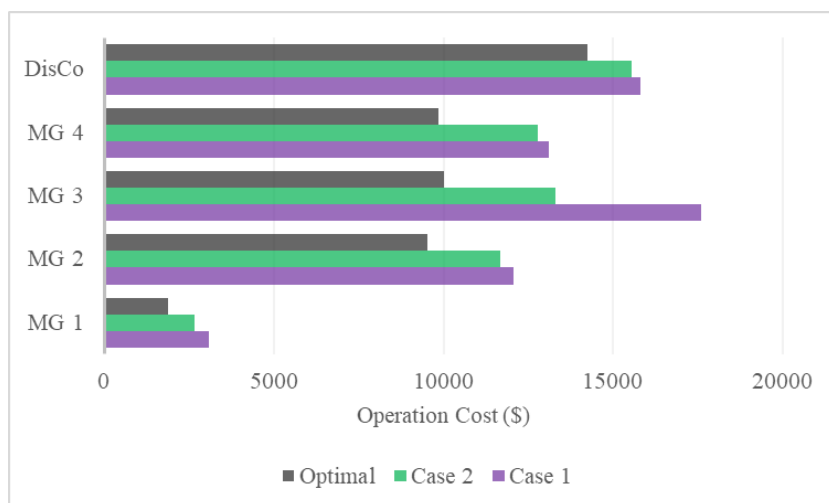
جدول (۳): نتایج بدست آمده از مورد مطالعاتی اول

هزینه (دلار)					مورد مطالعاتی اول
ریزشبکه ۵	ریزشبکه ۴	ریزشبکه ۳	ریزشبکه ۲	ریزشبکه ۱	
۱۰۴۹۹/۳۶	۱۰۶۵۷/۵۶	۱۵۰۷۱/۵۹	۱۱۰۶۳/۴۱	۱۳۷۱/۷۲	تبادل توان
۵۳۴۷/۹۲	۲۴۶۴/۷۳	۲۵۲۲/۸۵	۱۰۰۰/۶۱	۱۷۰۹/۴۳	منابع تولید پراکنده
.	سیستم‌های ذخیره‌ساز
.	خودروهای الکتریکی
.	برنامه پاسخگویی تقاضا
۱۵۷۹۷/۲۸	۱۳۱۲۲/۲۹	۱۷۵۹۴/۴۴	۱۲۰۶۴/۰۲	۳۰۸۱/۱۵	مجموع
۶۱۶۵۹/۱۸					هزینه کل سیستم

Table (4): Results from the second case study

جدول (۴): نتایج بدست آمده از مورد مطالعاتی دوم

هزینه (دلار)					مورد مطالعاتی دوم
شبکه توزیع	ریزشبکه ۴	ریزشبکه ۳	ریزشبکه ۲	ریزشبکه ۱	
۹۸۶۳/۵۷	۹۷۶۸/۱۴	۹۱۰۷/۷۶	۱۰۱۴۰/۰۸	۵۰۷/۲۸	تبادل توان
۵۶۹۰/۶۴	۳۰۰۲/۸۱	۴۱۹۴/۶۹	۱۵۴۹/۷۲	۲۱۶۳/۰۴	منابع تولید پراکنده
.	سیستم‌های ذخیره‌ساز
.	خودروهای الکتریکی
.	برنامه پاسخگویی تقاضا
۱۵۵۵۴/۲۱	۱۲۷۷۰/۹۵	۱۳۳۰۲/۴۵	۱۱۶۸۹/۰۸	۲۶۷۰/۳۲	مجموع
۵۵۹۸۷/۰۱					هزینه کل سیستم



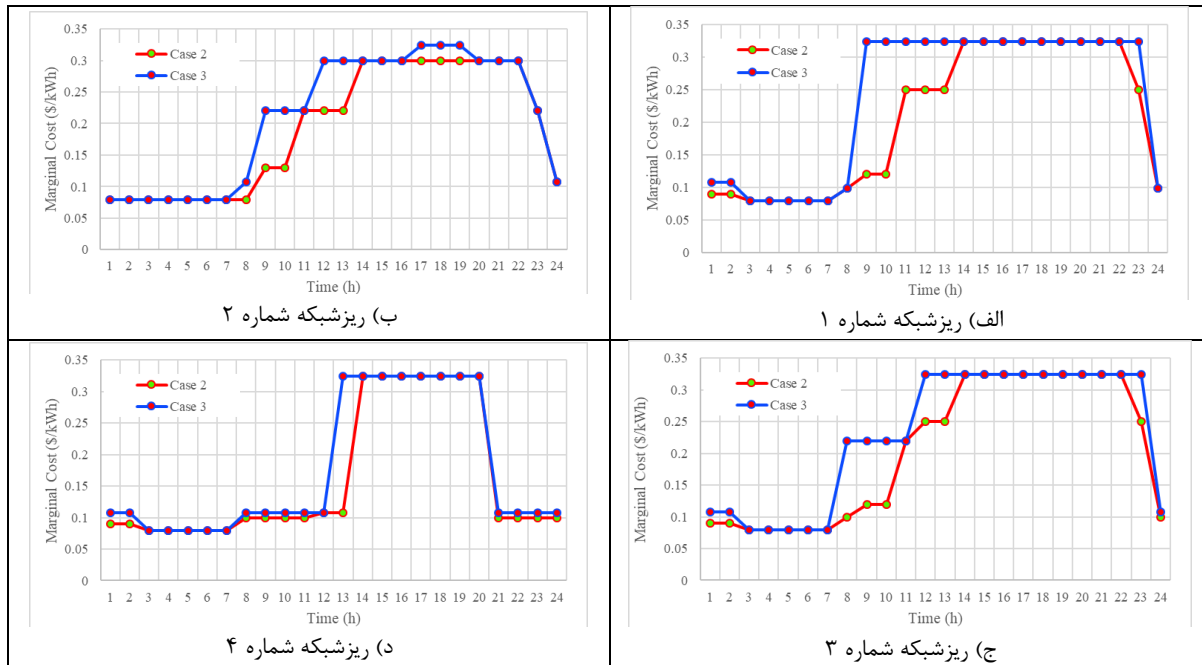
شکل (۵): انحراف مقدار نهایی تابع هدف هر بازیگر از مقدار بهینه آن در موردهای ۱ و ۲

Figure (5): Deviation of the final value of the objective function of each player from its optimal value in cases 1 and 2

در جدول (۵) نتایج به دست آمده از مورد مطالعاتی سوم ارائه شده‌اند. این مورد مشابه مورد ۲ است با این تفاوت که در آن عدم قطعیت‌های تقاضای بار و توان خروجی منابع تجدیدپذیر در آن در نظر گرفته شده‌اند. نتایج جدول (۵) نشان می‌دهند که هزینه بهره‌برداری ریز شبکه‌ها نسبت به مورد ۲ افزایش یافته‌اند که دلیل این امر در نظر گرفتن عدم قطعیت‌ها در این مورد است. شکل‌های (۶-الف) تا (۶-د) نیز نشان می‌دهند که در نظر گرفتن عدم قطعیت‌ها منجر به افزایش قیمت حاشیه‌ای ریز شبکه‌ها در مورد ۳ شده‌اند. لازم به ذکر است که افزایش قیمت حاشیه‌ای ریز شبکه‌ها در مورد ۳ منجر به افزایش قیمت تسویه بازار می‌شود، همان‌طور که در شکل (۷) نشان داده شده است. همچنین باید اشاره گردد که دلیل افزایش قیمت‌های حاشیه‌ای بین ساعت‌های ۷ تا ۲۳ افزایش میزان تقاضای بار در این دوره است. به عبارت دیگر افزایش تقاضای بار منجر به افزایش قیمت حاشیه‌ای محلی شده است. در جدول (۶) نتایج بهره‌برداری حاصل از حل مورد مطالعاتی چهارم ارائه شده است. در این مورد مسئله بهره‌برداری با در نظر گرفتن سیستم‌های ذخیره‌ساز حل می‌شود. همان‌طور که می‌توان دید هزینه بهره‌برداری ریز شبکه‌ها و DisCo به مورد ۳ کاهش یافته است که دلیل این امر افزایش انعطاف برنامه‌ریزی توسط سیستم‌های ذخیره‌ساز است. نتایج عددی نشان می‌دهند که هزینه بهره‌برداری در تمامی ریز شبکه‌ها نسبت به مورد ۳ کاهش یافته است. لازم به ذکر است که این واحدها در ساعت‌های ابتدایی روز که قیمت برق ارزان بوده شارژ شده و در ساعت‌های میانی روز که قیمت برق گران است دشارژ شده است و این طریق منجر به کاهش هزینه‌های بهره‌برداری در مورد ۴ شده‌اند. علاوه بر این شکل‌های (۶-الف) تا (۶-د) نشان می‌دهند که حضور سیستم‌های ذخیره‌ساز در مورد ۴ منجر به کاهش قیمت حاشیه‌ای ریز شبکه‌ها در ساعت‌های میانی روز نسبت به مورد ۳ شده است. به طور مشابه شکل (۹) نشان می‌دهد که قیمت تسويه بازار در مورد ۳ کاهش یافته است که دلیل این امر قیمت حاشیه‌ای پایین‌تر ریز شبکه‌ها است.

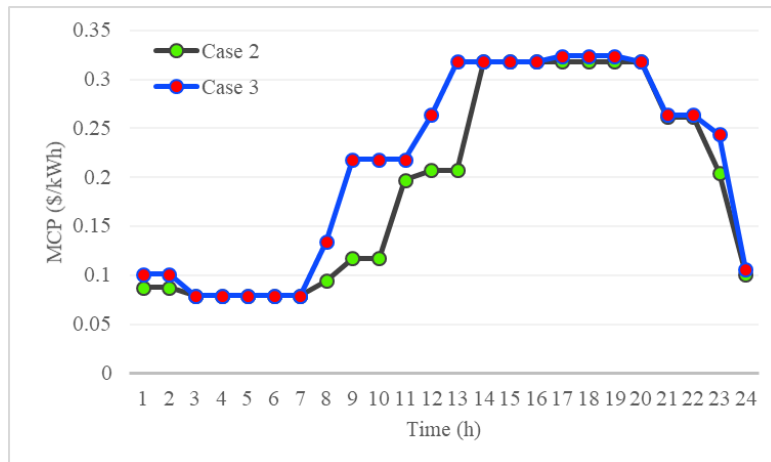
Table (5): Results from the third case study
جدول (۵): نتایج به دست آمده از مورد مطالعاتی سوم

هزینه (دلار)					مورد مطالعاتی سوم
ریز شبکه ۵	ریز شبکه ۴	ریز شبکه ۳	ریز شبکه ۲	ریز شبکه ۱	
۱۰۸۹۰/۱۸	۱۰۵۵۸/۷۵	۹۹۲۴/۹۲	۱۰۷۸۹/۰۱	۸۴۳/۳۱	تبادل توان
۵۶۹۰/۶۴	۳۰۰۲/۸۱	۴۱۹۴/۶۹	۱۵۴۹/۷۲	۲۱۵۸/۸۴	منابع تولید پراکنده
.	سیستم‌های ذخیره‌ساز
.	خودروهای الکتریکی
.	برنامه پاسخگویی تقاضا
۱۶۵۸۰/۸۲	۱۳۵۶۱/۵۶	۱۴۱۱۹/۶۱	۱۲۳۳۸/۷۴	۳۰۰۲/۱۵	مجموع
۵۹۶۰۲/۸۸					هزینه کل سیستم



شکل (۶): قیمت حاشیه‌ای ریز شبکه‌ها در موردهای ۲ و ۳

Figure (6): The marginal price of microgrids in cases 2 and 3, a) microgrid number1, b) microgrid number2, c) microgrid number3, d) microgrid number4



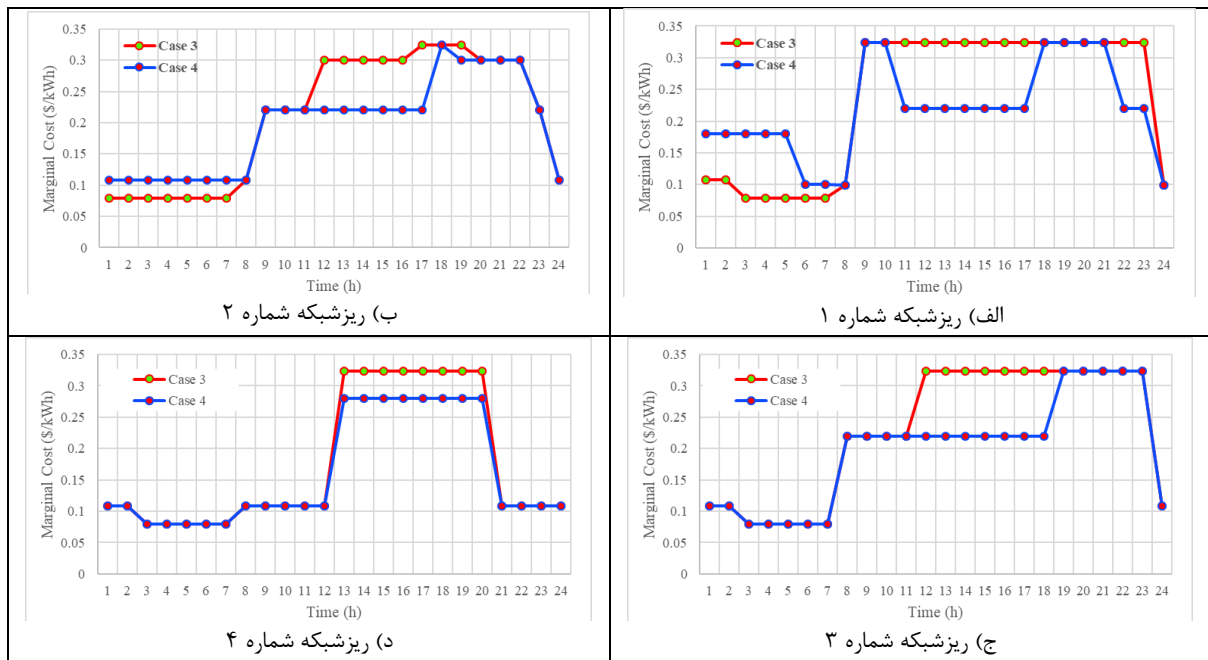
شکل (۷): قیمت تسویه بازار در موردهای ۲ و ۳

Figure (7): Market clearing prices in cases 2 and 3

Table (6): Results from the forth case study

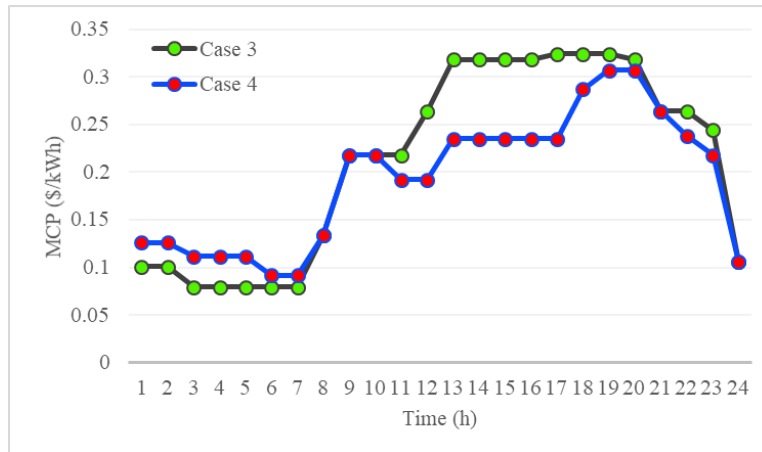
جدول (۶): نتایج به دست آمده از مورد مطالعاتی چهارم

هزینه (دلار)						مورد مطالعاتی چهارم
ریز شبکه ۵	ریز شبکه ۴	ریز شبکه ۳	ریز شبکه ۲	ریز شبکه ۱		
۱۰۳۳۴/۲۸	۱۰۱۳۸/۷۹	۹۵۰۰/۶۴	۱۰۴۴۴/۳۷	۸۵۳/۴۱	تبادل توان	
۵۶۹۰/۶۴	۳۰۰۲/۸۱	۴۱۹۴/۶۹	۱۵۴۹/۷۳	۲۱۵۶/۸۱	منابع تولید پراکنده	
۷/۸۸	۴/۵۶	۲/۹	۳/۷۳	۴/۱۵	سیستم‌های ذخیره‌ساز	
.	خودروهای الکتریکی	
.	برنامه پاسخگویی تقاضا	
۱۶۰۳۲/۸	۱۳۱۴۶/۱۶	۱۳۶۹۸/۲۳	۱۱۹۹۷/۸۳	۲۸۱۴/۳۷	مجموع	
۵۷۶۸۹/۳۹						هزینه کل سیستم



شکل (۸): قیمت حاشیه‌ای ریز شبکه‌ها در موردهای ۳ و ۴

Figure (8): The marginal price of microgrids in cases 3 and 4, a) microgrid number1, b) microgrid number2, c) microgrid number3, d) microgrid number4



شکل (۹): قیمت تسویه بازار در موردهای ۳ و ۴

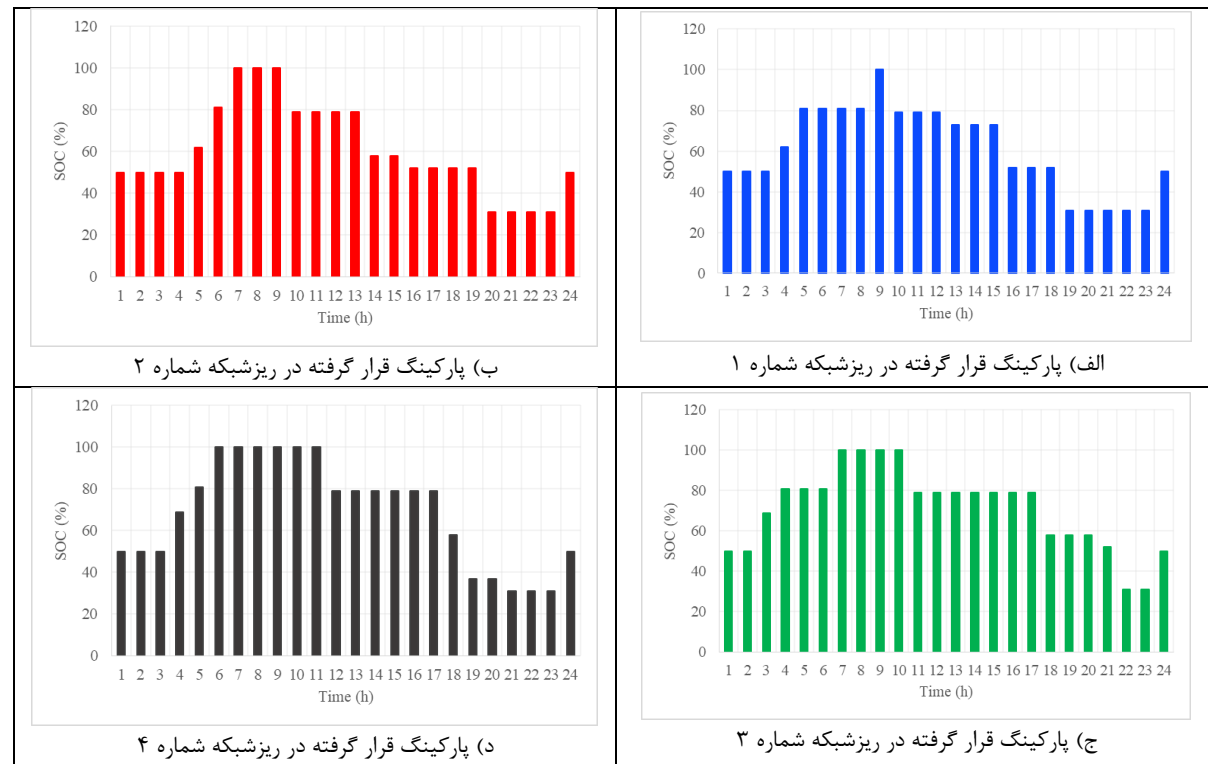
Figure (9): Market clearing prices in cases 3 and 4

در مورد مطالعاتی ۵ مسئله با در نظر گرفتن مشارکت EVها در برنامه‌ریزی حل شده و نتایج آن در جدول (۷) ارائه شده‌اند. همان‌طور که می‌توان دید مشارکت EVها در برنامه‌ریزی منجر به کاهش ۱۰۰۰ دلاری هزینه بهره‌برداری کل نسبت به مورد ۴ شده است که دلیل این امر امکان استخراج توان از EVها در ساعت‌های گران است. در شکل‌های (۱۰-الف) تا (۱۰-ج) وضعیت شارژ (SoC) EVها در ساعت‌های مختلف نشان داده شده است. همان‌طور که می‌توان دید EVها در ساعت‌های پیک در وضعیت دشارژ بوده و در ساعت‌های ابتدایی روز در وضعیت شارژ هستند. بنابراین این برنامه شارژ و دشارژ منجر به ارتقای انعطاف برنامه‌ریزی و کاهش هزینه‌های بهره‌برداری شده است. در نهایت در جدول (۸) نتایج بهره‌برداری حاصل از مورد مطالعاتی ششم ارائه شده‌اند. در این مورد مشترکین ریز شبکه‌ها در یک برنامه DR مبتنی بر تشویق مشارکت کرده‌اند. مطابق جدول (۸) مشارکت در برنامه DR در مورد ۶ منجر به کاهش هزینه بهره‌برداری ریز شبکه‌ها و DisCo نسبت به مورد ۵ شده است، که دلیل این امر اصلاح الگوی مصرف در این مورد است.

Table (7): The results obtained from the fifth case study

جدول (۷): نتایج به دست آمده از مورد مطالعاتی پنجم

هزینه (دلار)					مورد مطالعاتی پنجم
ریزشبکه ۵	ریزشبکه ۴	ریزشبکه ۳	ریزشبکه ۲	ریزشبکه ۱	
۹۸۲۰/۹۷	۹۷۲۱/۰۶	۹۰۶۹/۶۴	۱۰۰۹۷/۴۸	۴۶۷/۳	تبادل توان
۵۶۹۰/۶۴	۳۰۰۲/۸۱	۴۱۹۴/۶۹	۱۵۴۹/۷۳	۲۱۵۰/۹۹	منابع تولید پراکنده
۷/۸۸	۴/۵۶	۲/۹	۳/۷۳	۴/۱۵	سیستم‌های ذخیره‌ساز
.	۴/۱۵	۴/۱۵	۴/۱۵	۴/۱۵	خودروهای الکتریکی
.	برنامه پاسخگویی تقاضا
۱۵۵۱۹/۴۹	۱۲۷۳۲/۵۸	۱۳۲۷۱/۳۸	۱۱۶۵۵/۰۹	۲۶۲۶/۵۹	مجموع
۵۵۸۰/۵/۱۳					هزینه کل سیستم



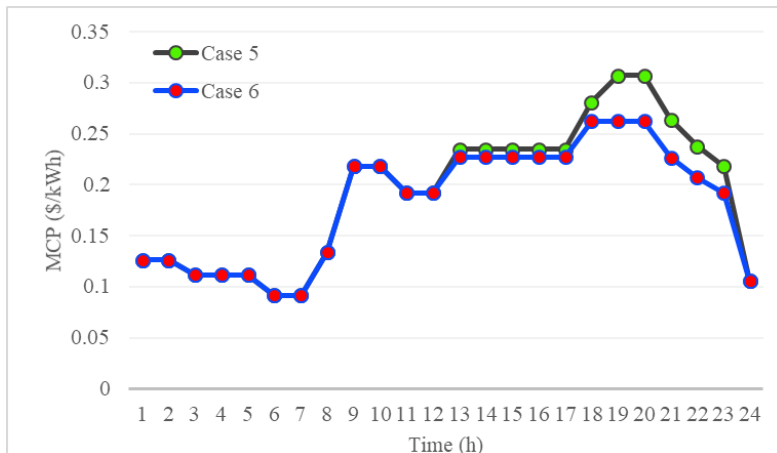
شکل (۱۰): وضعیت شارژ/دشارژ خودروهای الکتریکی در مورد ۵

Figure (10): Charging / discharging status of electric vehicles about 5 case, a) parking located in microgrid number1, b) parking located in microgrid number3, c) parking located in microgrid number3, d) parking located in microgrid4

Table (8): The results obtained from the sixth case study

جدول (۸): نتایج به دست آمده از مورد مطالعاتی ششم

هزینه (دلار)					مورد مطالعاتی ششم
ریزشبکه ۵	ریزشبکه ۴	ریزشبکه ۳	ریزشبکه ۲	ریزشبکه ۱	
۹۲۴۷/۷۹	۹۲۷۹/۶۵	۸۶۱۳/۴۱	۹۷۳۵/۱۷	۲۴۱/۱۱	تبادل توان
۵۶۹۰/۶۴	۳۰۰۲/۸۱	۴۱۹۴/۶۹	۱۵۴۹/۷۳	۲۱۴۳/۵۹	منابع تولید پراکنده
۷/۸۸	۴/۵۶	۲/۹	۳/۷۳	۴/۱۵	سیستم‌های ذخیره‌ساز
.	۴/۱۵	۴/۱۵	۴/۱۵	۴/۱۵	خودروهای الکتریکی
۸۳/۳۴	۶۴/۱۸	۶۶/۳۴	۵۲/۶۸	۳۶/۰۲	برنامه پاسخگویی تقاضا
۱۵۰۲۹/۶۵	۱۲۳۵۵/۳۵	۱۲۸۸۱/۴۹	۱۱۳۴۵/۴۶	۲۴۲۹/۰۲	مجموع
۵۴۰۴۰/۹۷					هزینه کل سیستم



شکل (۱۱): قیمت تسویه بازار در مورد های ۵ و ۶
Figure (11): Market clearing prices in cases 5 and 6

لازم به ذکر است که پس از مشارکت در برنامه DR، سطح تقاضا در ساعتهای پیک کاهش یافته است. شکل (۱۱) نشان می‌دهد که کاهش تقاضای بار در ساعتهای پیک منجر به کاهش قیمت تسویه بازار در این ساعتهای شده است. بنابراین نتایج اثبات می‌کنند که مشارکت در برنامه DR نه تنها الگوی مصرف را اصلاح می‌کند بلکه منجر به خرید ارزان‌تر توان در ساعتهای پیک می‌شود.

در جدول (۹) نتایج بدست آمده از حل مورد ۶ توسط مدل پیشنهادی در این مقاله، با دو مقاله اخیر در این زمینه مقایسه شده است. لازم به ذکر است که شبیه‌سازی مقاله‌های مذکور به طور دقیق پیاده‌سازی شده است. مرجع [۱۵] برای حل مسئله برنامه‌ریزی ریزشبکه‌ها از روش مت مرکز استفاده کرده، در حالی که مرجع [۲۲] از یک روش سه سطحی غیرمت مرکز استفاده کرده است. قابل ذکر است که در روش مت مرکز مسئله برنامه‌ریزی تمامی ریزشبکه‌ها به صورت یکپارچه کمینه‌سازی شده، در حالی که در روش غیرمت مرکز مسئله برنامه‌ریزی هر ریزشبکه به صورت جداگانه و با حفظ حریم خصوصی آن‌ها حل می‌شود. مطابق نتایج می‌توان دید که مدل پیشنهادی در این مقاله در مجموع منجر به کاهش هزینه‌های بهره‌برداری کل در مقایسه با دو مقاله مذکور شده است. همچنین می‌توان دید که در مرجع [۲۲] که از روش غیرمت مرکز استفاده شده، اختلاف هزینه بهره‌برداری در ریزشبکه‌ها بسیار متفاوت بوده است. به طوری که، هزینه برخی از ریزشبکه‌ها کمتر شده و هزینه برخی به مقدار قابل توجهی بیشتر شده است. لازم به ذکر است که دلیل هزینه‌های پایین‌تر در این مقاله، قیمت تسویه بازار کمتر و همچنین استفاده از یک روش مشارکتی برای برنامه‌ریزی ریزشبکه‌ها است.

Table (9): Comparison of the results of this article with the proposed methods in two other articles

جدول (۹): مقایسه نتایج این مقاله با روش‌های پیشنهادی در دو مقاله دیگر

هزینه (دلار)					روش مورد استفاده
ریزشبکه ۵	ریزشبکه ۴	ریزشبکه ۳	ریزشبکه ۲	ریزشبکه ۱	
۱۵۰۲۹/۶۵	۱۲۳۵۵/۳۵	۱۲۸۸۱/۴۹	۱۱۳۴۵/۴۶	۲۴۲۹/۰۲	هزینه بهره‌برداری
۵۴۰۴۰/۹۷					مجموع
۱۵۱۴۹/۴۵	۱۲۴۷۹/۵۲	۱۲۹۷۵/۱۱	۱۱۷۵۸/۱۲	۲۴۶۲/۳۵	هزینه بهره‌برداری
۵۴۸۵۱/۵۵					مجموع
۱۴۷۸۶/۱۷	۱۲۲۹۸/۰۸	۱۳۳۸۸/۶۶	۱۱۹۹۵/۰۴	۲۴۸۸/۲۱	هزینه بهره‌برداری
۵۴۹۵۶/۱۶					مجموع

روش مورد استفاده					
هزینه بهره‌برداری (این مقاله)					(مرجع [۱۵])
روش بازی مشارکتی	۱۲۳۵۵/۳۵	۱۲۸۸۱/۴۹	۱۱۳۴۵/۴۶	۲۴۲۹/۰۲	۱۲۴۷۹/۵۲
مت مرکز	۱۲۹۷۵/۱۱	۱۱۷۵۸/۱۲	۲۴۶۲/۳۵		۱۱۷۵۸/۱۲
غیرمت مرکز	۱۳۳۸۸/۶۶	۱۱۹۹۵/۰۴	۲۴۸۸/۲۱		۱۱۹۹۵/۰۴
(مرجع [۲۲])					

۵- نتیجه‌گیری

در این مقاله مسئله تعیین استراتژی و همچنین برنامه‌ریزی کوتاه مدت ریز شبکه‌های قرار گرفته در یک سیستم توزیع ۱۱۸ شینه، به طور کامل بررسی شد. به این منظور یک چارچوب سه مرحله‌ای ارائه گردید که در آن عدم قطعیت‌های ناشی از تولید و مصرف در نظر گرفته شدند. در مدل پیشنهادی مسئله برنامه‌ریزی ریز شبکه‌ها توسط یک روش تئوری بازی مشارکتی و با در نظر گرفتن برنامه شارژ/دشارژ EVها، سیستم‌های ذخیره‌ساز و یک برنامه DR مبتنی بر تشویق حل شد. لازم به ذکر است که مدل مذکور به صورت MILP فرموله شد و توسط حل کننده CPLEX در نرمافزار گمز حل گردید. نتایج شبیه‌سازی نشان دادند که ساختار دینامیک منجر به استفاده بیشتر از ظرفیت تولید منابع تولید پراکنده شده و از این طریق مجموع هزینه بهره‌برداری سیستم را حدود ۱۰ درصد کاهش داد. همچنین نتایج نشان دادند که در نظر گرفتن عدم قطعیت‌ها منجر به افزایش قیمت حاشیه‌ای ریز شبکه‌ها و همچنین قیمت تسویه بازار شد. نتایج عددی بخش مذکور نشان دادند که در نظر گرفتن عدم قطعیت‌ها منجر به افزایش حدود ۷ درصد هزینه بهره‌برداری کل شد. علاوه بر این، تأثیر حضور سیستم‌های ذخیره‌ساز و همچنین مشارکت EVها در برنامه‌ریزی بررسی شد و نتایج نشان دادند که حضور آن‌ها منجر به کاهش قیمت تسویه بازار و در نتیجه کاهش هزینه‌های بهره‌برداری سیستم شد. در نهایت نتایج نشان دادند که اجرای یک برنامه DR مبتنی بر تشویق نه تنها منجر به اصلاح الگوی تقاضا شد بلکه هزینه بهره‌برداری کل را حدود ۴ درصد کاهش داد.

سپاسگزاری

این مقاله از پایان‌نامه دوره کارشناسی ارشد در دانشگاه آزاد اسلامی واحد یادگار امام خمینی (ره) استخراج شده است. نویسنده‌گان بر خود لازم می‌دانند مراتب تشکر صمیمانه خود را از همکاران حوزه پژوهشی دانشگاه آزاد اسلامی و داوران محترم که ما را در انجام و ارتقای کیفی این مقاله یاری نموده‌اند، اعلام نمایند.

References

مراجع

- [1] S.A. Mansouri, M.S. Javadi, "A robust optimisation framework in composite generation and transmission expansion planning considering inherent uncertainties", Journal of Experimental & Theoretical Artificial Intelligence, vol. 29, no. 4, pp. 717–730, 2017 (doi: 10.1080/0952813X.2016.1259262).
- [2] M. Uddin, M.F. Romlie, M.F. Abdullah, S. Abd Halim, A.H.A. Bakar, T.C. Kwang, "A review on peak load shaving strategies", Renewable and Sustainable Energy Reviews, vol. 82, pp. 3323–3332, Feb. 2018 (doi: 10.1016/j.rser.2017.10.056).
- [3] S. Cai, Y. Xie, Q. Wu, Z. Xiang, "Robust MPC-based microgrid scheduling for resilience enhancement of distribution system", International Journal Electrical Power and Energy Systems., vol. 121, Article Number: 106068, Oct. 2020 (doi: 10.1016/j.ijepes.2020.106068).
- [4] S.A. Mansouri, A. Ahmarnajad, M.S. Javadi, A.E. Nezhad, M. Shafie-Khah, J.P.S. Catalão, "Chapter 9- Demand response role for enhancing the flexibility of local energy systems", Distributed Energy Resources in Local Integrated Energy Systems, pp. 279–313, 2021 (doi: 10.1016/B978-0-12-823899-8.00011-X).
- [5] E.A. Javadi, M. Joorabian, H. Barati, "A sustainable framework for resilience enhancement of integrated energy systems in the presence of energy storage systems and fast-acting flexible loads", Journal Energy Storage, vol. 49, Article Number: 104099, May 2022, (doi: 10.1016/j.est.2022.104099).
- [6] A. Sahoo, P.K. Hota, "Impact of energy storage system and distributed energy resources on bidding strategy of micro-grid in deregulated environment", Journal Energy Storage, vol. 43, Article Number: 103230, Nov. 2021, (doi: 10.1016/j.est.2021.103230).
- [7] M. Shafeikhani, A. Ahmadi, O. Homaei, M. Shafie-khah, J.P.S. Catalão, "Optimal bidding strategy of a renewable-based virtual power plant including wind and solar units and dispatchable loads", Energy, vol. 239, Article Number: 122379, Jan. 2022 (doi: 10.1016/j.energy.2021.122379).
- [8] L. Wang, Y. Zhang, W. Song, Q. Li, "Stochastic cooperative bidding strategy for multiple microgrids with peer-to-peer energy trading", IEEE Trans. on Industrial Informatics, vol. 18, no. 3, pp. 1447–1457, March 2022 (doi: 10.1109/TII.2021.3094274).
- [9] H. Mehrjerdi, "Multilevel home energy management integrated with renewable energies and storage technologies considering contingency operation", Journal Renewable and Sustainable Energy Reviews, vol. 11, no. 2, Artical Number: 25101, Mar. 2019 (doi: 10.1063/1.5085496).

- [10] S. Aslam, A. Khalid, N. Javaid, "Towards efficient energy management in smart grids considering microgrids with day-ahead energy forecasting", *Electric Power Systems Research*, vol. 182, no. 3, Article Number: 106232, May 2020 (doi: 10.1016/j.jobc.2019.100976).
- [11] H.J. Kim, M.K. Kim, "Risk-based hybrid energy management with developing bidding strategy and advanced demand response of grid-connected microgrid based on stochastic/information gap decision theory", *International Journal Electrical Power and Energy Systems*, vol. 131, Article Number: 107046, Oct. 2021, (doi: 10.1016/j.ijepes.2021.107046).
- [12] M. Alizadeh Bidgoli, A. Ahmadian, "Multi-stage optimal scheduling of multi-microgrids using deep-learning artificial neural network and cooperative game approach", *Energy*, vol. 239, Article Number: 122036, Jan. 2022 (doi: 10.1016/j.energy.2021.122036).
- [13] X. Ding, Q. Guo, T. Qiannan, and K. Jermsittiparsert, "Economic and environmental assessment of multi-energy microgrids under a hybrid optimization technique", *Sustainable Cities and Society*, vol. 65, Article Number: 102630, Feb. 2021, (doi: 10.1016/j.scs.2020.102630).
- [14] K. Hamed, S. Sadeghi, S. Esfandi, M. Azimian, H. Golmohamadi, "Eco-emission analysis of multi-carrier microgrid integrated with compressed air and power-to-gas energy storage technologies", *Sustainability*, vol. 13, no. 9, Article Number: 4681, April 2021 (doi: 10.3390/su13094681).
- [15] S.A. Mansouri, A. Ahmarinejad, E. Nematbakhsh, M.S. Javadi, A.R. Jordehi, J.P.S. Catalão, "Energy management in microgrids including smart homes: A multi-objective approach", *Sustainable Cities and Society*, vol. 69, Article Number: 102852, June 2021, (doi:10.1016/j.scs.2021.102852).
- [16] B. Javanmard, M. Tabrizian, M. Ansarian, A. Ahmarinejad, "Energy management of multi-microgrids based on game theory approach in the presence of demand response programs, energy storage systems and renewable energy resources", *Journal of Energy Storage*, vol. 42, Article Number: 102971, Oct. 2021 (doi: 10.1016/j.est.2021.102971).
- [17] F. Sheidaei, A. Ahmarinejad, M. Tabrizian, M. Babaei, "A stochastic multi-objective optimization framework for distribution feeder reconfiguration in the presence of renewable energy sources and energy storages", *Journal of Energy Storage*, vol. 40, Article Number: 102775, Aug. 2021 (doi: 10.1016/j.est.2021.102775).
- [18] M.A. Hormozi, B. Bahmani-Firooz, T. Niknam, "Bi-Level energy management optimization in multi-area smart grids", *Journal of Intelligent Procedures in Electrical Technology*, vol. 11, no. 42, pp. 29-40, Aug. 2020 (doi: 20.1001.1.23223871.1399.11.42.3.4).
- [19] S. Gorji, S. Zamanian, M. Moazzami, "Techno-economic and environmental base approach for optimal energy management of microgrids using crow search algorithm", *Journal of Intelligent Procedures in Electrical Technology*, vol. 11, no. 43, pp. 49–68, Oct. 2020 (doi: 20.1001.1.23223871.1399.11.43.4.7).
- [20] G.R. Aghajani, H.A. Shayanfar, H. Shayeghi, "Demand side management in a smart micro-grid in the presence of renewable generation and demand response", *Energy*, vol. 126, pp. 622–637, May 2017 (doi: 10.1016/j.energy.2017.03.051).
- [21] S.A. Mansouri, A. Ahmarinejad, E. Nematbakhsh, M.S. Javadi, A. Esmaeel-Nezhad, J.P.S. Catalão, "A sustainable framework for multi-microgrids energy management in automated distribution network by considering smart homes and high penetration of renewable energy resources", *Energy*, vol 245, Article Number: 123228, April 2022 (doi: 10.1016/j.energy.2022.123228).
- [22] S.A. Mansouri, A. Ahmarinejad, E. Nematbakhsh, M.S. Javadi, A.R. Jordehi, J.P. Catalão, "Energy management in microgrids including smart homes: A multi-objective approach", *Sustainable Cities and Society*, vol. 69, Article Number: 102852, June 2021 (doi: 10.1016/j.scs.2021.102852).

ضمیمه

الف - مجموعه‌ها

مجموعه‌ها	
شاخص زمانی	t
شاخص ژرأتور	g
شاخص ریزشبکه‌ها	mg
شاخص تکرار	iter
شاخص پیشنهادات خرید	i
شاخص پیشنهادات فروش	j
شاخص شین	m,n
شاخص سناریو	s
شاخص خط	l

ب- اسکالرها

اسکالرها	
مرحله زمانی بر حسب ساعت	dt
راندمان شارژ / دشارژ (%)	η^{ch} / η^{dch}
راندمان پنل خورشیدی (%)	η^{pv}
حداکثر تعداد تکرار	$iter^{max}$
هزینه ENS بر حسب دلار بر کیلووات ساعت	π^{ens}
توان پایه بر حسب کیلوولت آمپر	S^{base}
مقدار ولتاژ حداقل / حداکثر بر حسب پریونیت	V^{min}/V^{max}
زاویه ولتاژ حداقل / حداکثر بر حسب رادیان	$\theta^{min} / \theta^{max}$
تابش استاندارد بر حسب وات بر مترمربع	G_{std}

ج- پارامترها

پارامترها	
ضرایب تابع هزینه بر حسب دلار بر ساعت / دلار بر کیلووات ساعت / دلار بر کیلووات ساعت	$a_g / b_g / c_g$
احتمال سناریو (%)	ρ_s
جهت جریان	$k_{l,k}$
ضریب توان نقاط بار	\tan_n^{load}
حداقل / حداکثر مشارکت DR (%)	$\delta_n^{min} / \delta_n^{max}$
کنداکتانس / سوسپتانس خطوط (s)	G_1/B_1
تابش بر حسب وات بر مترمربع	$G_{g,t,s}$
افزایش / کاهش توان توربین‌های گازی بر حسب کیلووات ساعت	RU_g/RD_g
شارژ EES اولیه بر حسب کیلووات ساعت	$E_e^{initial}$
حداقل / حداکثر ظرفیت EES بر حسب کیلووات ساعت	E_e^{min} / E_e^{max}
سرعت‌های برش / مجاز / قطع بر حسب متر بر ثانیه	$v_g^{ci} / v_g^r / v_g^{co}$
سرعت باد بر حسب متر بر ثانیه	$V_{g,t,s}$
مقدار ولتاژ بر حسب پریونیت	$V_{n,t,s}$
زاویه ولتاژ بر حسب رادیان	$\theta_{n,t,s}$
حداقل / حداکثر ظرفیت تولید توربین‌های گازی بر حسب کیلووات	$P_{g,t,s}^{gt,min} / P_{g,t,s}^{gt,max}$
تقاضا MG / ها بر حسب کیلووات	$P_{k,t,s}^{load}$
حداقل / حداکثر مقدار تبادل توان بر حسب کیلووات	$P_k^{market,min} / P_k^{market,max}$
تقاضای توان اکتیو / راکتیو بر حسب کیلووات - کیلووار	$P_{n,t,s}^{load,base} / Q_{n,t,s}^{load,base}$
حداکثر توان شارژ / دشارژ بر حسب کیلووات	$P_e^{ch,max} / P_e^{dch,max}$
توان مجاز تولیدات تجدیدپذیر بر حسب کیلووات	P_g^r
قیمت پیشنهادات خرید بر حسب دلار بر کیلووات ساعت	$\pi_{k,i,t,s}^{buy}$
قیمت پیشنهادات فروش بر حسب دلار بر کیلووات ساعت	$\pi_{k,i,t,s}^{sell}$
قیمت تولید تجدیدپذیر بر حسب دلار بر کیلووات ساعت	π_g^{ren}
قیمت EES بر حسب دلار بر کیلووات ساعت	π_e^{ces}
قیمت بازار بر حسب دلار بر کیلووات ساعت	π_t^{mp}
ظرفیت خط بر حسب کیلووار	S_l^{max}

۵- متغیرهای پیوسته

متغیرهای پیوسته	
انحراف از نقطه بهینه (%)	η_s
هزینه بهره‌برداری از توربین گازی بر حسب دلار	$C_{g,t,s}^{gt}$
هزینه بهره‌برداری واحدهای تجدیدپذیر بر حسب دلار	$C_{g,t,s}^{ren}$
هزینه بهره‌برداری EES بر حسب دلار	$C_{e,t,s}^{ees}$
انرژی ذخیره شده در ESS بر حسب کیلووات-ساعت	$E_{e,t,s}$
تقاضا اکتیو/ راکتیو بر حسب کیلووات-ساعت / کیلووار-ساعت	$P_{n,t,s}^{load} / Q_{n,t,s}^{load}$
توان ارائه نشده در هر باس بر حسب کیلووات	$P_{n,t,s}^{load,ens}$
توان تولید شده توسط توربین گازی بر حسب کیلووات	$P_{g,t,s}^{gt}$
توان تولید شده توسط توربین بادی بر حسب کیلووات	$P_{g,t,s}^w$
توان تولید شده توسط پنل خورشیدی بر حسب کیلووات	$P_{g,t,s}^{pv}$
توان شارژ/ دشارژ بر حسب کیلووات	$P_{e,t,s}^{dch} / P_{es,t,s}^{ch}$
توان مبادله شده با بازار بر حسب کیلووات	$P_{k,t,s}^{market}$
بخش توان اکتیو/ راکتیو بر حسب کیلووات / کیلووار	$P_{l,t,s}^{line} / Q_{l,t,s}^{line}$
تلفات توان بر حسب کیلووات	$P_{l,t,s}^{loss}$
توان مبادله شده بین DisCo و شبکه اصلی بر حسب کیلووات	$P_{n,t,s}^{sub}$
توان مشارکت DR بر حسب کیلووات	$P_{n,t,s}^{load,dr-} / P_{n,t,s}^{load,dr+}$

۶- متغیرهای باینری

متغیرهای باینری	
وضعیت توربین گازی	$I_{g,t,s}$
وضعیت پیشنهادات فروش	$I_{k,j,t,s}^{sell}$
وضعیت پیشنهادات خرید	$I_{k,i,t,s}^{buy}$
وضعیت خطوط	$I_{l,t,s}^{line}$
وضعیت شین اصلی	$I_{n,m,t,s}^{parent}$
کاهش/ افزایش در برنامه DR	$I_{n,t,s}^{dr-} / I_{n,t,s}^{dr+}$
وضعیت شارژ/ دشارژ	$I_{e,t,s}^{ch} / I_{e,t,s}^{dch}$

زیرنویس‌ها

1. Distributed energy resources
2. Islanding
3. Virtual power plant
4. Information gap decision theory
5. Point-to-Point trading
6. Stochastic
7. Quadratic
8. Diagonal quadratic approximation
9. Smart homes
10. Deep-learning artificial neural network
11. Multi-carrier microgrids
12. Power-to-Gas technology
13. Fuzzy approach
14. Centralized
15. Epsilon-constrained
16. Karush-Kuhn-Tucker
17. Mixed-integer linear programming
18. Wholesale market

- 19. Independent system operator
- 20. Marginal cost
- 21. Social welfare
- 22. Distribution company
- 23. Normalize
- 24. Relax
- 25. Ramp-up
- 26. Ramp-down
- 27. Mobility coefficient
- 28. Dynamic
- 29. State of Charge